

## 1.PRINCIPII DE RECONDITIONARE A COMPONENTELOR

Aplicarea sudării și tehnicilor conexe (lipire, pulverizare termică, procedee specifice de recondiționare) la reparații, recondiționări și încărcări:

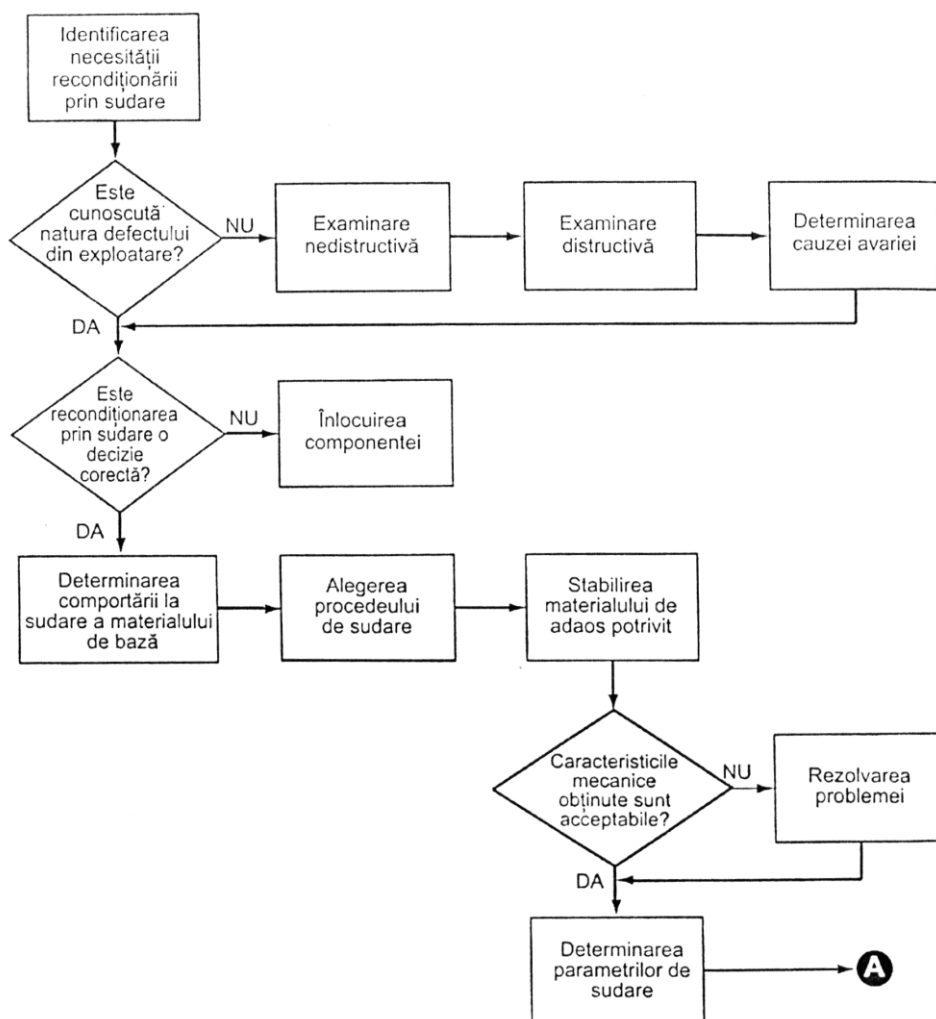
- De ce s-a defectat, uzat, respectiv în ce scop se încarcă piesa?
- Ce performanțe se așteaptă de la piesa care a fost reparată, recondiționată sau încărcată prin sudare și procedee conexe ?
- Care procedeu de sudare sau conex acestuia și ce fel de material pentru sudare sau orice consumabil este cel mai indicat ?

Răspunsul la ultima întrebare depinde de rezolvarea primelor două probleme, de materialul de bază, grosimea și funcționalitatea piesei considerate în subansamblul dat.

După clarificarea celor trei întrebări tehnice, se va face un calcul economic al operației de reparare, recondiționare sau / și încărcare. Numai dacă piesa încărcată este mai ieftină decât o piesă nouă, sau nu mai poate fi procurată în timp util se va proceda la repararea (recondiționare) acesteia.

Modul, în care se reparară, recondiționează sau încarcă o piesă metalică , depinde de următorii factori:

- Operația este necesară din cauza modului de exploatare, survenind cu o periodicitate previzibilă sau piesa nu mai corespunde din cauza unui eveniment imprevizibil ?
- Piese metalice devenite accidental nefuncționale se vor opera numai după clarificarea cauzelor evenimentului și estimarea probabilității de reparare a lui ?
- Nu se fac reparații, recondiționări sau / și încărcări prin sudare a pieselor în următoarele situații: piesa este în termen de garanție, piesa aparține unor domenii în care reparațiile sunt interzise, piesa nouă este mai ieftină decât cea reparată, recondiționată sau încărcată. O sistematizare a tuturor aspectelor de ordin funcțional și



tehnologic în ceea ce privește identificarea necesității recondiționării. Acestea sunt redate în figurile 1.1 și 1.2(continuare).

Fig.1.1. Sistematizare informații și date referitoare la necesitatea recondiționării

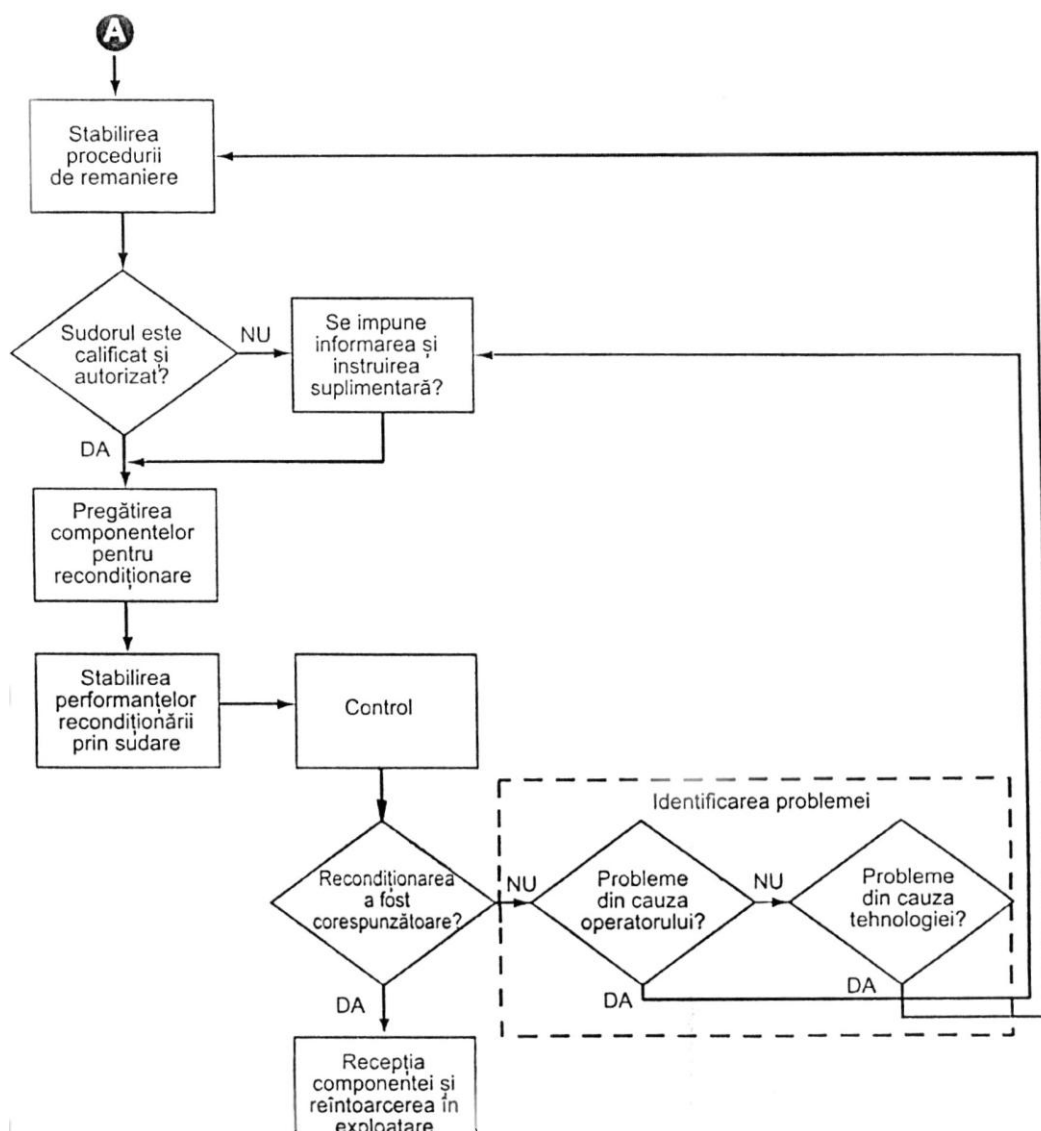


Fig.1.1. (continuare) Sistematizare informații și date referitoare la necesitatea recondiționării

### -Criterii pentru alegerea eficientă a procedeeleor și a materialelor de încărcare

Alegerea procedeeleor și a materialelor de încărcare prin sudare și tehnici conexe, în vederea recondiționării este o problemă majoră, ce poate avea numeroase implicații. În această etapă trebuie să se asigure posibilitatea de obținere a unor piese încărcate cu o eficiență cât mai ridicată din punctul de vedere al execuției, al siguranței în exploatare, fiabilității, al costurilor specifice și al costurilor totale .

Cele două laturi ale procesului de alegere a procedeeleor și de selectare a materialelor de încărcare se intercondiționează și depinde de factorii tehnico-economici.

#### *Alegerea procedeeleor de încărcare*

Procesul de alegere a procedeeleor de încărcare este influențat în principal de trei grupe de factori decizionali, tehnici, economici și umani (de igienă, protecția muncii, protecție ambientală, ergonomie) .

Factorii tehnici sunt:

- Volumul depunerilor
- Configurația depunerii
- Diluția metalului depus cu metalul de bază

- Poziția în care se poate face încărcarea cu procedeul respectiv
- Condițiile de execuție a încărcării, funcție de temperatură
- Metalele și aliajele lor ce se pot încărca cu procedeul respectiv
- Ș.a.m.d.

Factorii economici sunt:

- Productivitatea
- Investițiile (eventual)
- Cheltuielile de producție.

Factorii umani:

- personal necesar, cu calificare corespunzătoare
- condiții de igienă, protecția muncii și de protecție ambientală, strict necesare
- urmărirea asigurării condițiilor de ventilație, iluminat, poziții corespunzătoare de lucru și

condiții necesare din punct de vedere ergonomic.

Seleția procedeelor de încărcare a unei serii de fabricație date se face în două etape și anume:

- Pe baza factorilor tehnici se selectează procedeele neutilizabile de cele utilizabile, iar cele din urmă se ordonează în funcție de nivelele calitative ce se pot obține;
- Procedecele rămase din prima etapă se analizează din punctul de vedere al prețului de cost sau al altor condiții restrictive și se ordonează în funcție de eficiența economică de realizare a producției date la anumite niveluri calitative.

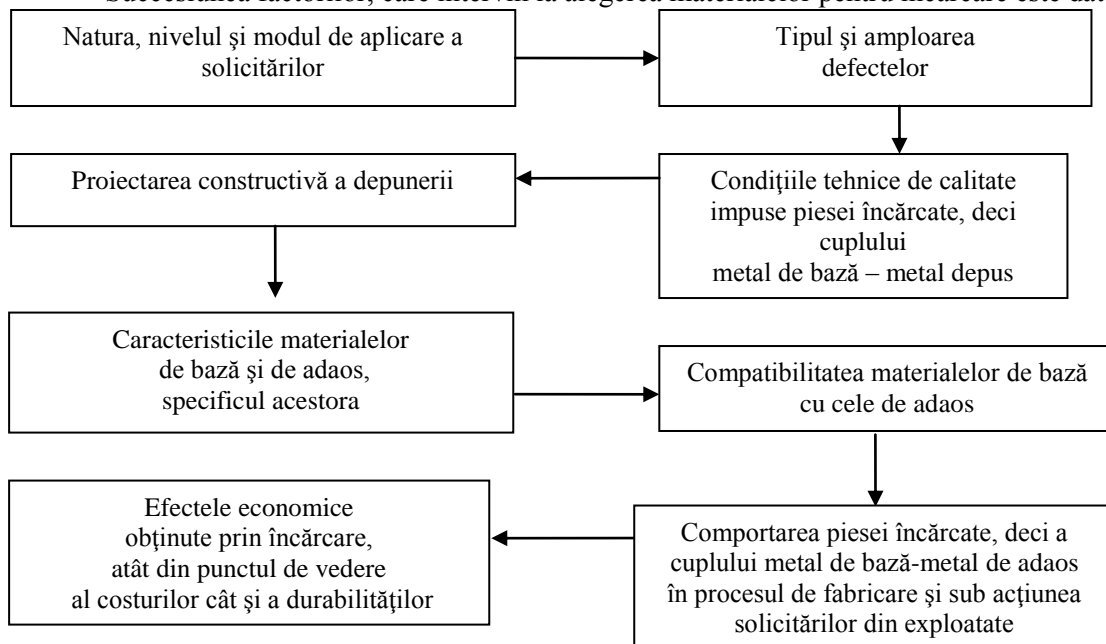
### *Criterii de alegere a materialelor de adaos pentru recondiționare*

Se poate aprecia că alegerea materialelor de încărcare prin sudare prezintă cel puțin trei aspecte, care se intercondiționează reciproc și anume:

- Aspectul tehnologic, care se referă la compatibilitatea metalului de bază cu cel de adaos și la influența parametrilor de încărcare asupra caracteristicilor piesei obținute;
- Aspectul economic, prin care se apreciază efectele obținute prin încărcare;
- Aspectul asigurării protecției ambientale.

Procesul de încărcare cu materiale cu proprietăți speciale și rezultatul acestuia este influențat în mare măsură de caracteristicile și specificul materialelor introduse în lucru.]. Din această cauză, pentru o selectare rațională a materialelor de adaos este necesară cunoașterea în detaliu atât a cerințelor de exploatare, cât și a caracteristicilor fizico-chimice, tehnologice și economice ale materialelor utilizabile și a corelațiilor dintre ele.

Succesiunea factorilor, care intervin la alegerea materialelor pentru încărcare este dată în figura.2.



*Figura.2. Succesiunea factorilor care intervin la alegerea materialelor pentru încărcare pentru recondiționare*

Recondiționarea se face cu procedeul și tehnologia proprie (potrivită) reparației, recondiționării sau încărcării, compatibile cu materialul de bază, grosimea pieselor și condițiile de funcționare.

La conducerea proceselor de încărcare se urmărește ca în final depunerea să conțină constituenții doriți, iar aceștia să prezinte un raport optim, între cantitățile lor și o distribuție a acestora, care să conducă la obținerea performanțelor proiectate. Elaborarea tehnologiilor de încărcare, în vederea recondiționării se face succesiv în trei etape distincte și anume:

- Proiectarea tehnologiei de încărcare prin sudare;
- Verificarea experimentală și certificarea tehnologiei elaborate;
- Verificarea pieselor recondiționate și urmărirea acestora în condiții concrete de execuție și exploatare.

Fiecare etapă tehnologică este alcătuită dintr-o succesiune de secvențe.

În proiectarea constructivă, urmărindu-se protecția și consolidarea suprafețelor active ale pieselor încărcate se parcurg două etape:

- a. Proiectarea configurației geometrice a depunerii.
- b. Stabilirea modului de pregătire a piesei în vederea încărcării pentru recondiționare.

Pregătirea pieselor pentru reparație, recondiționare sau încărcare se face parcurgând trei etape obligatorii:

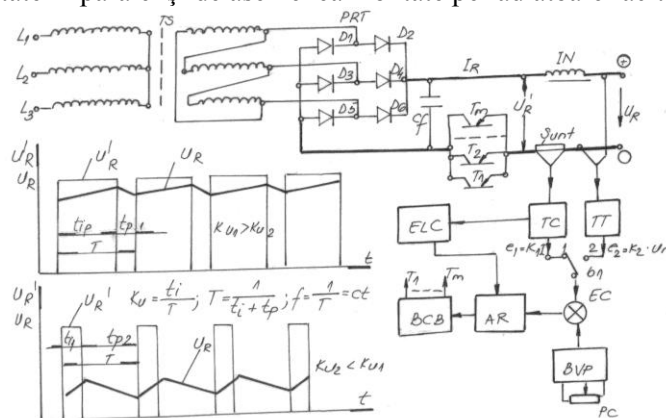
- curățirea externă a pieselor, astfel încât suprafețele lor să nu mai aibă nicio altă urmă de materiale (uleiuri, vaseline, rugină, alte depuneri) apărute în timpul exploatării lor;
- îndepărtarea regiunii defecte (scoaterea fisurilor, porilor, incluziunilor) și eliminarea concentratorilor de tensiune (încrестări, schimbări bruște de secțiune) prin racordări bine alese;
- poziționarea pieselor pentru sudare și asigurarea condițiilor termice corespunzătoare prin raportarea la materialul de bază.

## 2. Echipamente sudare prin topire

### 2.1. Analiza surselor moderne de sudare

#### Sursă de sudare cu tranzistoare în regim de comutație

Sursa este formată dintr-un transformator TS cu caracteristica externă rigidă care are în secundar o punte redresoare trifazată PRT cu 6 diode, condensatorul de filtrare  $C_f$ , inductanța de netezire  $IN$  și un bloc de tranzistoare  $T_1, \dots, T_n$  montate în paralel și de asemenea montate pe radiatoare răcite forțat cu aer.



#### Sursa sinergică cu tranzistoare în comutație

Aceste tranzistoare sunt deosebite de cele standard pentru că lucrează în regim de comutație la frecvențe mai mari de 20 KHz. Funcție de varianta de tranzistoare utilizate, numărul lor poate varia de la 1-2 buc. pentru tranzistoarele IGBT (tranzistor bipolar cu baza izolată) sau 10....20 buc. pentru tranzistoarele MOSFET.

Bucula de reglare automată este identică cu a unui redresor cu tiristoare cu singura deosebire că se dă comanda de reglare a tranzistoarelor pe bază prin blocul BCB, tranzistoarele funcționând fie în situație de a conduce la saturație fie la blocarea conductiei.

Coeficientul de umplere  $k_u = t_i/T$  (PWM-Power Wave Modulation) se reglează în funcție de timpul de pauză și timpul de conducție a tranzistoarelor, frecvența de lucru a tranzistoarelor fiind constantă. În figură sunt prezentate graficele pentru cele două limite ale reglării, minimă și maximă.

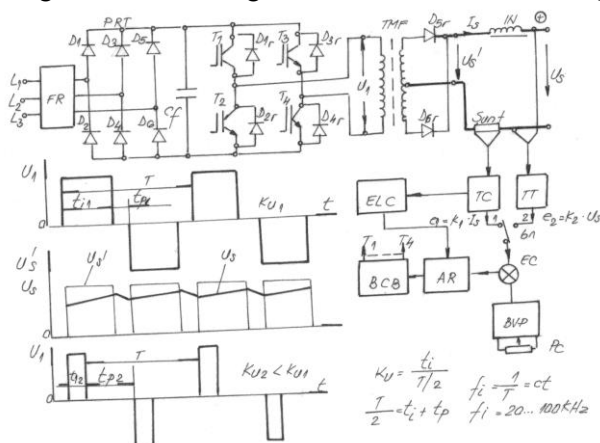
Deoarece tranzistoarele funcționează în regim de comutație pierderile pe blocul de tranzistoare sunt mai reduse decât dacă ar lucra în regim de conducție variabilă, iar timpul de reacție este sub 20μs pentru o

**frecvență de 100 KHz.** Greutatea și gabaritul sursei este comparabil cu a unui redresor cu tiristoare. Datorită timpului de reacție extrem de redus schema poate fi utilizată perfect pentru procedee și performanțe ca de exemplu sudarea pulsant sinergic. Randamentul este comparabil cu a unei surse cu tiristoare 0,8 .....0,85. Pentru că tensiunea din circuitul de sudare este redusă (sub 113V) prețul acestor tranzistoare speciale este mai redus decât al celor utilizate la alte surse. Datorită acestui fapt astfel de surse se construiesc mult în prezent pentru sudarea MIG/MAG, WIG, SE și pentru tăiere cu plasma de aer .

### Surse cu inverter in punte simetrica

Varianța în punte simetrică prezentată în figura arată că sursa este legată direct la rețeaua trifazată printr-un filtru de rețea care alimentează puntea redresoare PRT cu 6 diode  $D_1 - D_6$ .

Se menționează că la curenți sub 180A puntea redresoare este monofazată și rețeaua de alimentare este monofazată, 230V. Condensatorul  $C_f$  asigură netezirea tensiunii redresate. Această tensiune continuă și netezită este convertită prin cele 4 tranzistoare  $T_1...T_4$  într-o tensiune alternativă  $U_1$  de formă dreptunghiulară și cu durata alternanțelor  $t_i$  reglabilă. În alternanța pozitivă conduc simultan tranzistoarele  $T_1$  și  $T_4$ , iar în alternanța negativă tranzistoarele  $T_3$  și  $T_2$ . Diodele rapide  $D_{1r}...D_{4r}$  protejează tranzistoarele la supratensiuni (care apar prin fenomenul de inducție electromagnetică la blocarea tranzistoarelor) și de obicei sunt montate în aceeași capsulă cu tranzistorul de forță. În momentul de față firmele livrează module cu câte 2 tranzistoare și două diode încorporate sau chiar un singur modul care înglobează toate tranzistoarele și toate diodele .



### Sursa cu inverter in punte simetrica

Tensiunea alternativă  $U_1$  de valoare ridicată de exemplu 570V pentru o tensiune de rețea de 3x400V este coborâtă prin transformatorul cu miez de ferită TMF la valoarea necesară pentru sudare apoi este redresată cu schema de redresare cu punct median formată din diodele  $D_{5r}$  și  $D_{6r}$ . Tensiunea este netezită cu inductanța de netezire IN. Graficele tensiunilor  $U_1$ ,  $U_s'$  și  $U_s$  sunt reprezentate în figură. În ultimul grafic este prezentată forma tensiunii  $U_1$  pentru un coeficient de umplere  $K_u$  mai redus. Bucla de reglare automată este identică cu aceea utilizată la orice altă sursă comandată. Cu comutatorul  $b_1$  pe poziția 1 se obține caracteristica brusc coborâtă, iar pe poziția 2 caracteristica rigidă. Blocul de comandă pe bază BCB modifică așa numitul coeficient de umplere  $K_u$  (a cărei expresie este redată și în figură):

$$k_u = \frac{t_i}{t_i + t_p}$$

unde:  $t_i$  – timpul de impuls (de conducție)

$t_p$  - timpul de pauză (de blocare)

Pe caracteristica rigidă trebuie să existe blocul de limitare superioară a curentului ELC. Toate diodele  $D_{1r}...D_{6r}$  trebuie să fie diode ultrarapide care pot funcționa la frecvența de lucru a inverterului.

Datorită frecvenței înalte a tensiunii alternative  $U_1$  de 20...100KHz și absenței transformatorului de rețea masa sursei se reduce de aproximativ 10 ori prin reducerea spectaculoasă a greutateii transformatorului pe miez de ferită și a inductanței de netezire. Secțiunea necesară a miezului transformatorului  $q_{Fe}$  se calculează cu relația:

$$q_{Fe} = U_1 / 4,44f W_1 B_{adm}$$

în care:  $f$  - frecvența tensiunii,  $B_{adm}$  – inducția pentru ferită.

Se utilizează ferită în locul tolelor din table silicioasă datorită frecvenței mari de lucru al inverterului. Sursa asigură stabilizarea parametrilor de sudare la fluctuațiile tensiunii rețelei.

**Timpul de reacție este foarte redus <200μsec ajungând la 10μsec pentru o frecvență de 100KHz.**

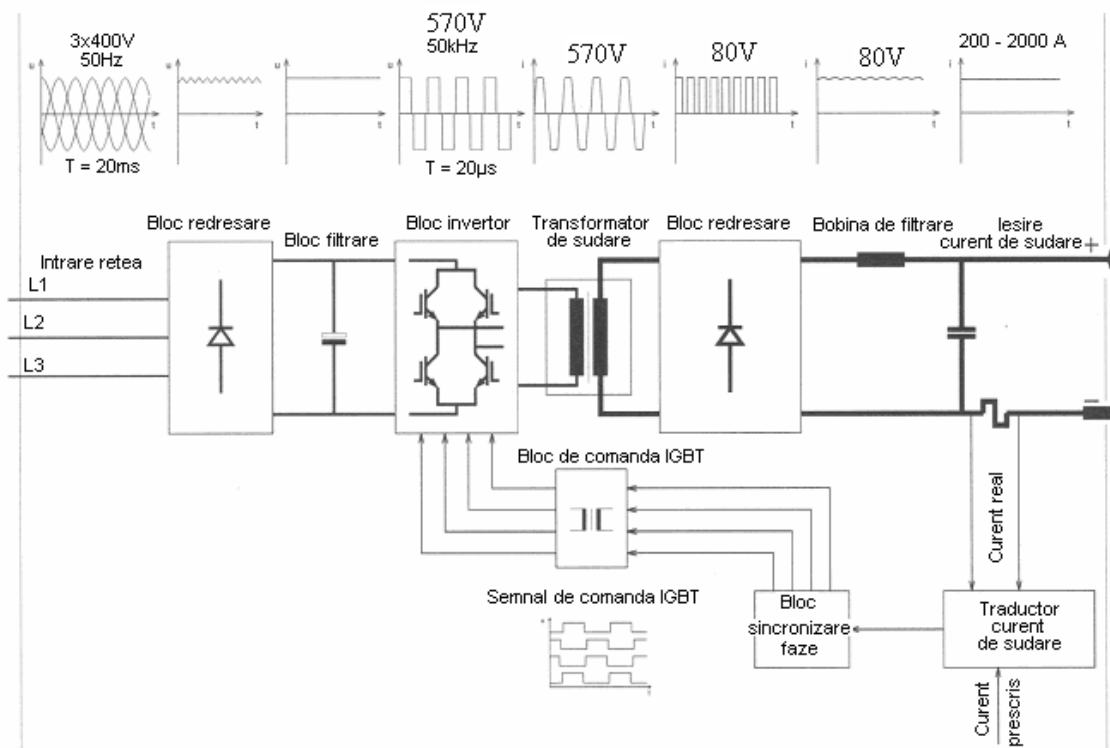
Acest timp de reacție foarte scurt facilitează dezvoltarea procedeelor de sudare cu cele mai înalte pretenții ca de exemplu MIG/MAG pulsant și shortarc idealizat (un fel de sinergic).

Obs.: Toate avantajele prezentate mai sus sunt reale, dar în primul rând trebuie subliniate avantajele de ordin tehnologic pe care le asigură această gamă de surse.

Se menționează că mai există încă cel puțin 2-3 variante de scheme cu inverter denumite în punte asimetrică respectiv în punte semiasimetrică.

## 2.2. Definiți inverterul de sudare.

Analizați funcționarea inverterului din figura. Definiți rolul fiecărui bloc din structura inverterului.



**Figura 2.2.** Schema bloc a inverterului pentru sudarea bolțurilor cu arcul electric

### 2.3. Caracteristicile tehnico-funcționale principale ale surselor de sudare

Caract. Nr. crt.	Simbol	Mărimea nominală	Valori (V)	Frecvență (Hz)	Toleranțe
1.	$U_{1n}$ [V]	Tensiunea de racordare la rețea	220(230) 380(400) 3x400	50 50/60 50/60+8E	$\pm 10\%$
2.	$I_{1n}$ [A]	Curentul absorbit de la rețea pentru $I_{sn}$ și $DA_n$			
3.	$P_{1n}$ [W]	Puterea activă absorbită de la rețea	$U_{1n} I_{1n} \cos \varphi$ $\sqrt{3} U_{1n} I_{1n} \cos \varphi$		
4.	$S_{1n}$ [VA]	Puterea aparentă absorbită de la rețea	$U_{1n} I_{1n}$ $\sqrt{3} U_{1n} I_{1n}$		
5.	$Q_{1n}$ [VAr]	Puterea reactivă	$U_{1n} I_{1n} \sin \varphi$ $\sqrt{3} U_{1n} I_{1n} \sin \varphi$		
6.	$U_{so}$ [V]	Tensiunea de mers în gol pentru $I_s = 0$	113 V în c.c 113 V valoare de vârf în c.a. 80 V valoare efectivă în c.a.	Condiții normale de lucru	
7.	$U_{so}$ [V]	Tensiunea de mers în gol pentru $I_s = 0$	113 V în c.c. 68 V valoare de vârf în c.a. 48 V valoare efectivă în c.a.	Condiții grele de lucru	
8.	$U_c$ [V]	Tensiunea convențională la mers în sarcină	20 + 0,04 $I_s$ ; $I_s \leq 600A$ 44 V $I_s > 600A$	SE și SF	
			10 + 0,04 $I_s$ 14 + 0,05 $I_s$	WIG MIG/MAG	
9.	$I_{sn}$ [A]	Curentul de sudare nominal la $DA_n$	Se dă pentru o durată de funcționare nominală		
10.	$I_{s\ max}$ [A]	Curentul maxim de sudare			
11.	$\frac{I_{s\ min}}{U_{c\ min}} \dots \frac{I_{s\ max}}{U_{c\ max}}$ [A/V]		Domeniul de reglare în curent pe tensiune		
12.	$\cos \varphi$	Factorul de putere: $\cos \varphi = P_{1n}/S_{1n}$			
13.	$DA_n$ [%]	Durata activă relativă de lucru. Determină gradul de încălzire pentru un regim bine definit	60% - sudarea cu arcul electric AE 50% - sudarea prin presiune 25%; 35%; 80%; 100%;	$(t_s/t_c)/100$ $t_c = t_s + t_p$	
14.	A...H	Clasa de izolație în ordinea: A, E, Y, B, C, F, H	A – 80°C H – 180°C		

15.	IP <sub>xy</sub> Z	Clasa de protecție a sursei	- Împotriva corpurilor solide și a apei - Protecția climatică: T-tropicus, A-variații mari de temperatura, H-hu-midus, F-frigus	$x = 0...5(6)$ $y = 0...8$ Z = T; A; H; F
-----	--------------------	-----------------------------	---	---

### 3.SUDAREA MATERIALELOR PLASTICE CU GAZ INCALZIT

Procedeul constă în încălzirea suprafețelor pieselor din MP până la temperatura stării semivâscoase, cu ajutorul unui jet de gaz încălzit (figura 1). Sudarea se poate face cu sau fără material de adaos. Drept agent termic se poate folosi aerul, azotul, oxigenul, argonul sau bioxidul de carbon. Pentru cazuri uzuale se folosește cel mai des aerul, iar pentru reducerea oxidării în zona îmbinării sudate, pentru sudarea componentelor cu importanță deosebită, se folosește azotul sau argonul.

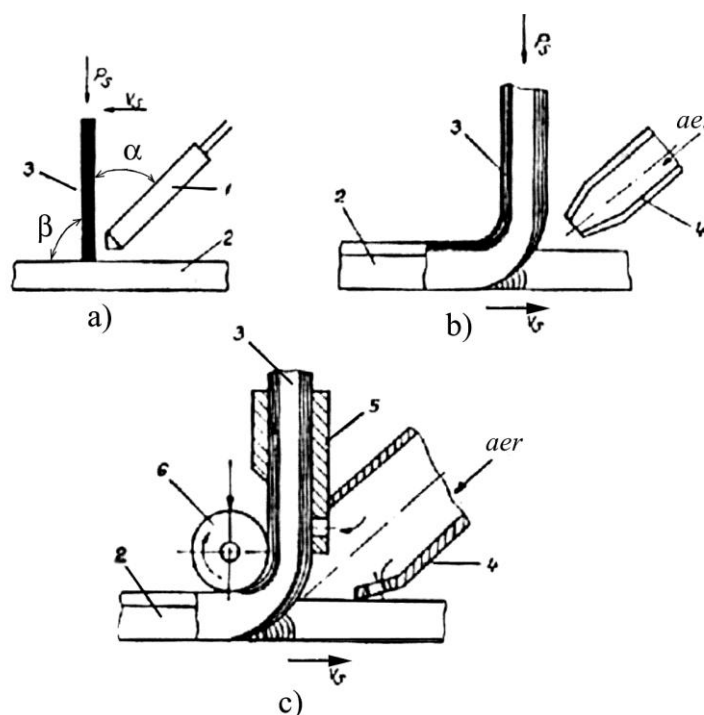


Figura 1. Sudarea cu gaz încălzit: a) principiul sudării; b) sudarea manuală; c) sudarea mecanizată

- (1) echipament de sudare; (2) piesă de sudat; (3) vergea de sudare;  
(4) duză de sudare; (5) ghidaj; (6) rolă de presare

#### **3.2 Materiale de bază**

Sudarea cu gaz încălzit își găsește aplicabilitatea la sudarea plăcilor din MP sau MCT cu grosime cuprinsă în domeniul 2÷30(50)mm, din următoarele materiale plastice: PVC, PE, PP, POM, PMMA, PA, PIB și PC, în variantă simplă, uzuală sau armată.

#### **3.3 Materiale de adaos**

Materialul de adaos utilizat este sub forma unor vergele de MP având aceeași compoziție sau o compoziție apropiată cu cea a materialului de bază. Forma secțiunii vergelelor (figura 2) poate influența calitatea îmbinării sudate astfel obținute. Dimensiunile uzuale ale vergelelor de secțiune circulară, se situează în domeniul  $\varnothing 2\div 6$ mm. Diametrul vergelei de sudat este în funcție de grosimea materialului de bază, grosimea sudurii, viteza de sudare cerută și de rezistența necesară a fi obținută, a îmbinării sudate. Nu se recomandă utilizarea vergelelor cu un diametru mai mare de 4÷5mm, deoarece nu este posibilă asigurarea preîncălzirii uniforme a acestora în timpul procesului de sudare. În unele cazuri, materialul vergelei de sudare trebuie să se deosebească de materialul de bază, fiind necesar să aibă o plasticitate ridicată și să se caracterizeze printr-o temperatură de înmuiere mai mică decât cea a materialului de bază.



De exemplu la sudarea PVC-ului, se utilizează de obicei un material de adaos ce conține 10% plastifiant și numai în cazul în care este necesară obținerea unei rezistențe a îmbinării sudate la mediul corosiv se utilizează material de adaos din PVC rigid (identic cu materialul de bază).

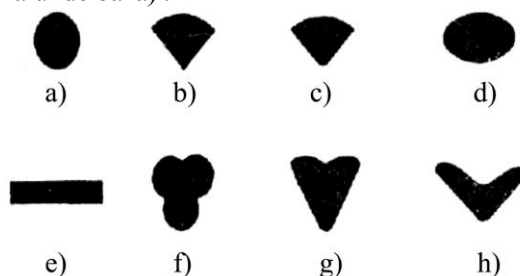


Figura 2. Forma principalelor tipuri de vergele

### 3.2.4 Tehnologia de sudare

#### • Pregătirea componentelor pentru sudare

Cu acest procedeu se pot realiza suduri, în variantele tuturor tipurilor de îmbinări sudate: cap la cap, prin suprapunere, în colț, T etc. Alegerea variantei optime este determinată în principal de grosimea și proprietățile materialului de sudat, de particularitățile construcțiilor sudate și de condițiile de sudare.

Sudarea pieselor cu grosime de până la 4mm este posibilă fără pregătirea muchiilor. În acest caz este necesară menținerea între plăci a unui rost de 1÷2mm, pentru asigurarea unei adâncimi de pătrundere uniforme a materialului de adaos. La grosimi de peste 4mm este necesară o prelucrare prealabilă a muchiilor (figura 3). Se impune curățirea componentelor ce urmează să fie sudate, de regulă cu alcool tehnic.

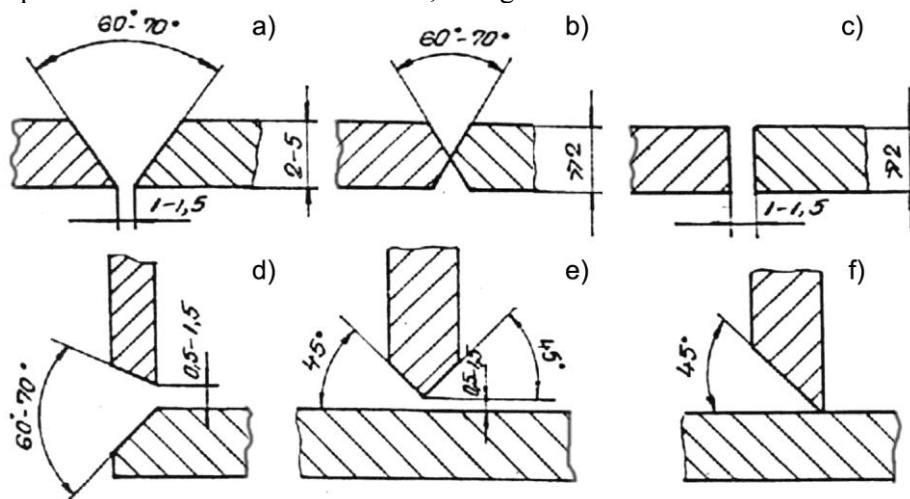


Figura 3.3. Tipuri de rosturi de MP pentru sudarea cu gaz încălzit

#### • Parametrii tehnologici – Generalități

- temperatura gazului la ieșirea din încălzitor,  $T_g$
- presiunea gazului la ieșirea din încălzitor,  $p_g$
- viteza de sudare,  $v_s$
- unghiul făcut de vergeaua materialului de adaos și încălzitor, față de suprafața sudurii
- presiunea aplicată materialului de adaos,  $P$
- distanța cap de sudare - material de bază

Intercon condiționalitatea acestor parametri îi găsește imediată rezultantă în rezistența îmbinării sudate.

□ Temperatura gazului, la ieșirea din încălzitor este stabilită în funcție de materialul care urmează să fie sudat. Această temperatură trebuie să depășească cu minimum 50÷100°C temperatura stării semivâscoase a materialului plastic, pentru a se putea compensa pierderile de căldură ce apar pe distanța încălzitor-suprafața piesei de sudat. În tabelul 1 sunt indicate temperaturile aerului încălzitor.

Tabelul 1. Temperatura aerului încălzit, la sudarea diferitelor MP

Material	Temperatura minimă a suprafeței piesei [°C]	Temperatura aerului încălzit [°C]
PVC dur	160	300-350
PVC moale	150	250-300
PP	175	240-280
PE	150	200-280
PMMA	180	250-300
PIB	150	250-300

□ Presiunea gazului la ieșirea din încălzitor se alege uzual în domeniul  $3,5 \div 8 \text{ N/mm}^2$ . Alegerea incorectă a presiunii gazului poate avea drept consecință o încălzire insuficientă a pieselor și a vergelei sau o expulzare a materialului de adaos încălzit din zona sudurii [8, 35].

□ Viteza de sudare, împreună cu temperatura gazului-agent purtător de căldură sunt strâns legate. Fiecărei temperaturi determinate îi corespunde o viteză optimă de sudare, la care este posibilă obținerea unei îmbinări sudate cu rezistență maximă. Astfel:

$$v_s = v_o \cdot e^{-\frac{Q}{R \cdot T_g}}$$

în care:  $v_s$  = viteza de sudare

$T_g$  = temperatura gazului încălzit

$R$  = constanta universală a gazelor [Kcal/mol °K]

$v_o$ ,  $Q$  = parametrii determinați experimental

$v_o = 0,5 \div 1,24 \text{ cm/s}$

$Q = 5,8 \div 6,24 \text{ Kcal/mol}$

Viteza de sudare cu un singur rând de material de adaos se situează în domeniul  $0,1-0,3 \text{ m/min}$ .

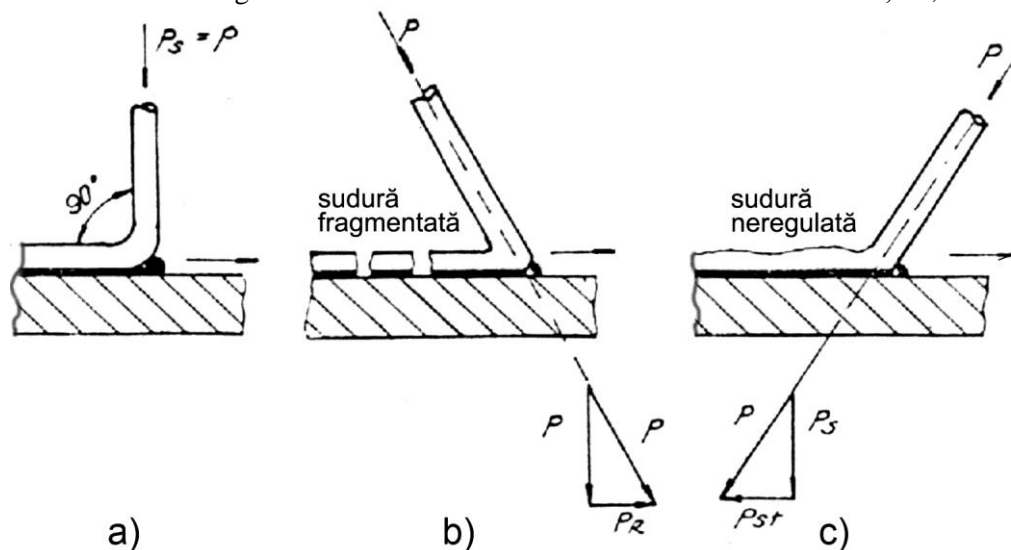


Figura 4 Poziții de sudare: a) corectă; b, c) incorectă

□ Unghiul dintre vergeaua materialului de adaos și încălzitor, față de suprafața sudurii (figura 4), depinde de grosimea componentelor, ce urmează a fi sudate.

□  $= 20 \div 25^\circ$ , la o grosime a componentelor de  $s \leq 5 \text{ mm}$

□  $= 30 \div 45^\circ$  la o grosime a componentelor de  $s > 5 \text{ mm}$

Distribuția corectă a căldurii la sudare, se realizează prin menținerea unghiului corespunzător al înclinării încălzitorului față de suprafața sudurii.

Este foarte importantă asigurarea unei poziții corecte a materialului de adaos, față de suprafața sudurii. Se recomandă menținerea materialului de adaos sub un unghi de  $90^\circ$  față de suprafața sudurii (figura 4).

Dacă unghiul de înclinare  $\alpha < 90^\circ$ , materialul de adaos se încălzește pe o porțiune cu lungime mai mare, debitul lui, ca urmare a contracției, se mărește iar în sudură, vergeaua se încovoie datorită presiunii prelungite.

Dacă unghiul de înclinare  $\alpha < 90^\circ$ , forța care acționează asupra vergelei are două componente: una orizontală și una verticală. Sub acțiunea componentei orizontale, vergeaua pusă în sudură se alungește, la răcire putând să se rupă.

□ Presiunea aplicată materialului de adaos, este în funcție de echipamentul de sudare folosit și de materialul de bază ce urmează a fi sudat.

În mod normal presiunea se situează în domeniul 5-50N. O presiune prea scăzută poate duce la o insuficientă pătrundere, iar o presiune prea ridicată conduce la o expulzare nedorită a materialului încălzit din materialul de bază.

□ Coeficientul de calitate, ca raport între rezistența îmbinării sudare și rezistența materialului de bază, este funcție de procesul de sudare și de material, dar totodată, în cadrul unui procedeu de sudare, este funcție de parametri tehnologici utilizați. Valorile obținute sunt  $0,5 \div 0,8$  pentru polietilenă, respectiv  $0,6 \div 0,7$  pentru PVC.

□ Distanța cap de sudare- material de bază,  $l$ , este situată în plaja de valori  $l = (5 \div 7) \text{ mm}$

### 3.2.5 Echipamentul de sudare

Din punct de vedere al echipamentelor de sudare, sudarea cu gaz încălzit poate fi realizată:

- a) manual
- b) semimecanizat

Sudarea manuală este cea mai des utilizată, deoarece se pretează la sudarea pieselor cu diverse configurații geometrice și diverse poziții de sudare.

Neajunsul principal al sudării manuale îl constituie faptul că este foarte greu de asigurat o calitate stabilă a îmbinărilor sudate, deoarece în procesul sudării se pot schimba parametrii regimului și condițiile de sudare, dependent și de factorul uman - îndemânarea operatorului sudor.

Echipamentele de sudare semimecanizată asigură o creștere a calității îmbinărilor sudate și o mărire sensibilă a productivității muncii. Pentru sudarea mecanizată se utilizează echipamente, care realizează deplasarea constantă a vergelei de sudare și menținerea poziției jetului de gaz încălzit, deplasarea respectiv ghidarea acestuia făcându-se manual.

Există și echipamente mai performante, care asigură deplasarea mecanizată a acestora.

Sudarea mecanizată, față de cea manuală, respectiv echipamentele realizate și utilizate permit utilizarea numai pentru realizarea unor suduri longitudinale, de mare lungime, în cazul îmbinărilor cap la cap, în poziție orizontală. Utilizarea sudării semimecanizate, respectiv a echipamentelor de sudare semimecanizată, pentru obținerea de suduri în poziție verticală sau peste cap, este în prezent, practic imposibilă.

## 4.SUDAREA CU US A MATERIALELOR PLASTICE SI COMPOZITE

### 4.1Principiu procedeu

Schema de principiu a SUS a MP este prezentată în figura 1.

MP se sudează numai în cazul, în care oscilațiile ultrasonice se transmit de la sonotrodă la locul îmbinării, perpendicular pe suprafața pieselor, adică în același sens cu forța de apăsare statică.

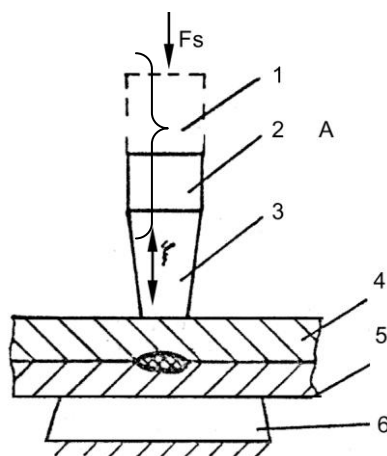


Figura 1. Principiul SUS a MP. A - bloc ultrasonic: 1- transductor; 2- amplificator intermediar; 3- sonotrodă; 4, 5- piese de sudat; 6- dispozitiv de fixare-poziționare

În mod convențional se consideră că SUS a MP și MCT se desfășoară în două etape. În prima etapă are loc o încălzire a materialelor de îmbinat. Este necesar ca temperatura, care se obține în zona îmbinării să fie mai mică decât temperatura de degradare termică a MP sau MCT considerat și mai ridicată decât o temperatură minimă, la care se poate realiza o sudură rezistentă. În a doua etapă, între suprafețele componentelor de sudat, aflate în contact și încălzite până la temperatura stării plastice, apar o serie de legături, care permit obținerea unei îmbinări sudate. Se consideră că unei temperaturi minime de sudare îi corespunde o temperatură de tranziție a MP, în stare plastică.

În cazul în care temperaturile limită necesare sudării MP și MCT, măsurate la suprafața de separare a reperelor de sudat, nu se realizează atunci, sau nu se produce sudarea, sau rezistența îmbinării obținute este mult redusă.

La SUS sursa principală de căldură o constituie energia oscilațiilor mecanice, care sunt absorbite la suprafața de contact între sonotrodă și reperul de sudat. Această absorbție a energiei oscilațiilor mecanice se datorează impedențelor acustice ale MP sau MCT de sudat, precum și contactului existent între reperele de sudat. Căldura se degajă ca urmare a frecării interne, care are drept consecință încălzirea întregului volum de material. Deasemenea, se degajă căldură și ca urmare a frecărilor externe ce apar în zona de contact MP (MCT) – MP (MCT) și a frecării externe dintre MP sau MCT și sonotrodă. Transformarea energiei mecanice a oscilațiilor în căldură se datorează frecării, care apare în zonele de contact specificate anterior, sub acțiunea mișcării vibratorii rapide și puternice totodată, a sonotrodei pe reperul de sudat. Această frecare duce la o egalizare rapidă a microasperităților suprafeței MP, urmată de o fuziune superficială și de pătrunderea materialului topit în interstițiile existente.

#### 4.2 Materiale de bază

SUS se aplică la sudarea foliilor și plăcilor având grosimea cuprinsă în domeniul 0,01-10 mm, din MP: ABS, SAN, CA, CAB, PA, PEHD, PELD, PP, PETP, PMMA, POM, PPO, PS, PVC (simple sau armate).

SUS poate fi utilizată, deasemenea la sudarea reperelor de configurație oarecare din materialele specificate anterior, dar și din MP diferite între ele.

#### 4.3 Comportarea la SUS a MP

Capacitatea de SUS a diferitelor MP este determinată de proprietatea lor, ca la o grosime dată să degaje spre suprafața de separare a reperelor, o cantitate de energie mecanică, care transformată în căldură să permită obținerea de îmbinări sudate corespunzătoare din punct de vedere calitativ. Criteriul principal în caracterizarea comportării la sudare a MP este considerat factorul de amortizare,  $\eta$ , a amplitudinii oscilațiilor în MP considerat. Acest parametru a fost ales drept criteriu de clasificare, în special din următoarele considerații:

- coeficientul de amortizare a amplitudinilor caracterizează intensitatea absorbției energiei oscilațiilor mecanice, de frecvență ultrasonică;
- coeficientul de amortizare determină procentul de energie mecanică transformată în căldură în zonele limitei de separare a reperelor de sudat;
- cu cât coeficientul de amortizare este mai mare, cu atât mai dificilă va fi formarea îmbinării prin sudură.

MP, în funcție de valoarea factorului de amortizare,  $\eta$ , se împart în trei mari grupe:

##### a) Grupa A

MP aparținând acestei grupe sunt considerate MP dure. Ele se caracterizează printr-un modul de elasticitate ridicat  $E > 3 \cdot 10^4 \text{ kgf/cm}^2$  și printr-un coeficient de amortizare  $\eta < 0,35 \text{ cm}^{-1}$ . Aceste MP se pretează foarte bine la SUS, sudura obținându-se în condiții foarte bune. Din această grupă fac parte: PMMA, PS, CA etc.

##### b) Grupa B

MP din această grupă se caracterizează prin:

$$0,35 < \eta < 0,55 \text{ cm}^{-1} \text{ și } 2 \cdot 10^4 < E < 3 \cdot 10^4 \text{ kgf/cm}^2.$$

MP aparținând acestei grupe se pretează bine la SUS, dar pe suprafața piesei, în locul, în care vine în contact cu sonotroda, rămâne o urmă vizibilă. Din această grupă fac parte: PP, PVC, PETP, PC etc.

##### c) Grupa C

MP aparținând acestei grupe sunt caracterizate de:

MP	Amortizarea oscilațiilor ultrasonice în material			Comportarea la sudare în		Nituire	Inserti	Putere impusă echipamentului	
	mică	mijlocie	mare	câmp apropiat	câmp depărtat			mare	mică
ABS, SAN	□	□		1	2	1	1		□
CA		□		3	3-4	2	2		□
PA			□	2	3-4	2	2	□	
PC		□		1	1-2	1	1		□
PE			□	2	3-4	2	3-4	□	
PMM A		□		1	1-2	1	1-2		□
POM			□	2	2	3	2	□	
PP			□	2	4	2	3-4	□	

PPO	<input type="checkbox"/>			2	3	2	2		<input type="checkbox"/>
PS	<input type="checkbox"/>			1	1	1	1		<input type="checkbox"/>
PVC				2	2-4	1-2	1-4		
1-foarte bine; 2-bine; 3-satisfăcător; 4-foarte dificil sau imposibil									

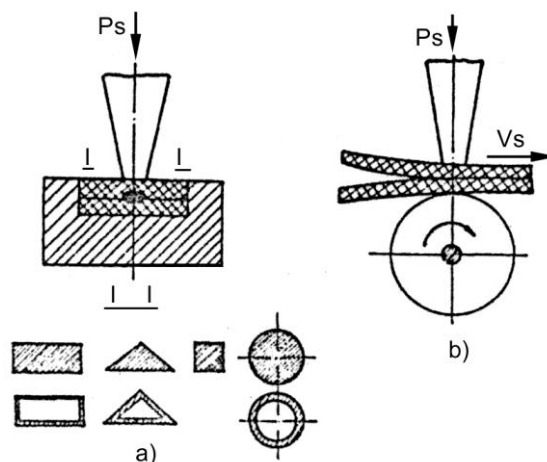


Figura 3. SUS de contact: a - prin presiune; b - continuă.

La SUS de transmisie, oscilațiile mecanice se aplică într-un anumit punct sau pe o mică porțiune a suprafeței piesei superioare (figura 4).

Transmiterea și repartizarea uniformă a energiei mecanice depinde în acest caz de proprietățile elastice ale materialului de sudat. De aceea, SUS de transmisie este recomandată a se folosi pentru îmbinarea pieselor din materiale MP dure ca: polistiren, polimetacrilat etc. Cele mai raționale sunt îmbinările cap la cap și suprapuse. La SUS de transmisie este preferabil ca sonotroda să fie plasată pe axa de simetrie a reperului sudat.

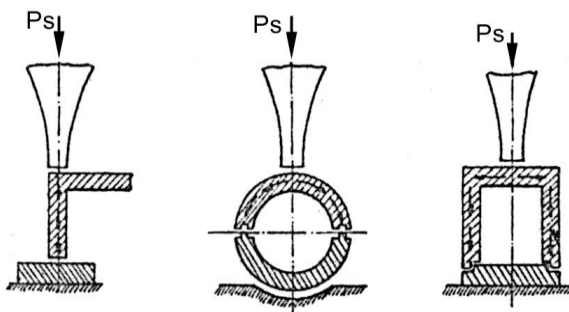


Figura 4. SUS de transmisie

După gradul continuității procesului de SUS, aceasta poate fi împărțită în sudare prin presare și sudare continuă.

Sudarea prin presare se execută dintr-o singură mișcare de lucru a sonotrodei și se pot obține îmbinări în puncte rectilinii și închise, de diferite forme, ca de exemplu circulare, pătrate, dreptunghiulare, eliptice etc, așa cum este arătat în figura 4.

Sudarea continuă permite obținerea de îmbinări prin sudarea continuă și prin mișcarea neîntreruptă a sonotrodei și a pieselor de sudat.

După gradul de mecanizare, sudarea continuă se împarte în: manuală și mecanizată.

La sudarea manuală, îmbinările continue de orice configurație se obțin prin mișcarea pistolului de sudură, în timp ce reperul de sudat rămâne nemișcat. Sudarea manuală se poate folosi pentru îmbinări în locuri greu accesibile (figura 5) și, deasemenea, pentru fixarea detaliilor mecanice înaintea sudării.

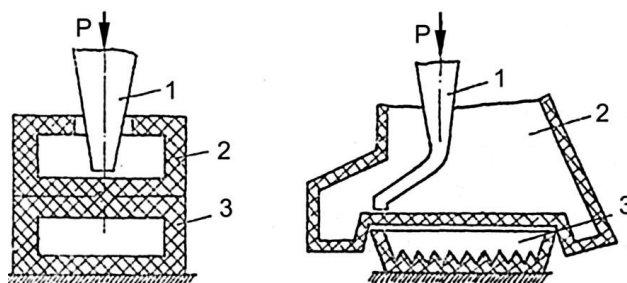


Figura.5. Sudarea cu ultrasunete în locuri greu accesibile

#### 4.4 Tehnologia SUS

##### • Pregătirea reperelor pentru sudare

Cu ajutorul ultrasunetelor se pot suda, atât repere din același MB cât și din MB, diferite, repere de aceeași grosime sau de grosimi mult diferite. La SUS nu este imperios necesară îndepărtarea impurităților din zona îmbinării, ca la alte procedee de sudare a MP, ceea ce constituie un avantaj net pentru o serie de aplicații.

La SUS a MP, rezistența unei îmbinări sudate este determinată de forma și geometria zonelor de contact a reperelor de sudat. Deciziile constructive privind configurația pieselor, ce se vor suda, se iau în general din prima fază de proiectare a reperelor, ținându-se cont de următoarele:

- Suprafețele reperelor în contact trebuie să fie cât mai mici, în scopul obținerii unei concentrări de energie cât mai mari, suficientă pentru a se obține topirea reperelor în zona sudurii.
- Este indicat să se prevadă un joc relativ mare, prin care unul din repere, de preferat cel în contact cu sonotroda, să aibă posibilitatea de a vibra liber pe celălalt, pentru a fi posibilă degajarea de căldură prin frecare.
- În zona îmbinării trebuie prevăzută o zonă liberă, care să permită pătrunderea MP topit în procesul de sudare. Dacă nu este prevăzută această zonă, materialul topit poate migra în interiorul sau exteriorul piesei, formând o bavură inestetică și de multe ori nefuncțională pentru destinația ansamblului sudat. În zona bavurii mai pot exista tensiuni remanente, care afectează în sens nedorit calitatea îmbinării sudate.
- Zona de contact a sonotrodei cu piesa trebuie să fie suficient de mare pentru a introduce în piesă o cantitate corespunzătoare de energie acustică. Trebuie avut în vedere, că o suprafață de contact prea mare impune o energie acustică ridicată, care poate duce la degradarea piesei de sudat în centrul ei, în timpul procesului de sudare.

Din practică a rezultat necesitatea prevederii reperelor de sudat cu concentratori de energie. Amplasarea concentratorilor se face după cum urmează:

- la MP greu sudabile este necesar să fie amplasat concentratorul pe reperul, care este în contact cu sonotroda;
- concentratorul să fie amplasat pe piesa din MP, mai dur, în cazul sudării de materiale disimilare

##### • Parametri tehnologici la SUS

Parametri tehnologici la SUS se împart în: parametri tehnologici principali și parametri tehnologici auxiliari.

Parametri tehnologici principali sunt considerați acei parametri care influențează în mod direct mărimea energiei acustice introduse în reperele de sudat, respectiv rezistența îmbinării sudate. Parametri tehnologici principali sunt: puterea electrică introdusă în blocul ultrasonic; puterea acustică introdusă în spațiul de lucru; forța statică de apăsare (forța de sudare); timpul de sudare; timpul de menținere; frecvența oscilațiilor ultrasonice; amplitudinea oscilațiilor în spațiul de lucru.

Parametri tehnologici auxiliari sunt: dimensiunile, forma și materialul dispozitivului de fixare-poziționare; materialul de amortizare a dispozitivului de fixare-poziționare; temperatura de încălzire prealabilă a sonotrodei.

- Puterea electrică și acustică. Puterea echipamentelor de sudat este strict dependentă de duritatea și grosimea MP de sudat. S-a constatat că, odată cu creșterea grosimii pieselor de sudat sau a conturului de sudat, este necesară o putere mai mare a echipamentului de sudat, așa cum este indicat în tabelul 2.

Tabelul 2. Puterea necesară la SUS

Puterea [W]	Frecvența [kHz]	Contur maxim sudat Ø [mm]		
		PS	PC	PA
480	20	100	35	12
670	20	120	45	15
880	20	140	55	25
1160	20	220	80	35
1620	20	240	95	45
2100	20	280	110	60
2600	20	300	120	70
3100	20	300	140	85
4200	20	320	180	110

- Forța de sudare. Forța de sudare asigură transmiterea oscilațiilor ultrasonice în zona îmbinării prin realizarea contactului acustic necesar între suprafețele reperelor de sudat, respectiv între repere și sonotrodă. Din experimentări a rezultat existența unei forțe de sudare optime, funcție de materialul și forma reperului.

În procesul de sudare, la folosirea forțelor de sudare de valoare mică se obține o rezistență scăzută a îmbinărilor sudate, fapt datorat contactului insuficient între sonotrodă și piesă. Acest contact insuficient are drept consecință introducerea de energie mecanică insuficientă. Totodată are loc și o modificare sensibilă a regimului de rezonanță - în unele cazuri chiar o ieșire din regimul de rezonanță - a instalației, datorită scăderii amplitudinii oscilației sonotrodei (figura 6) .

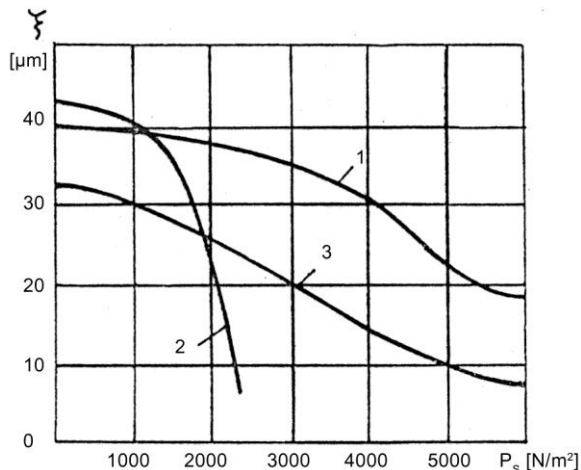


Figura 6. Influența presiunii de sudare asupra modificării amplitudinii oscilațiilor:

1- transductor din permendur; 2- transductor cu ferita;

3- transductor cu permendur și sonotrodă de contur

Dacă valoarea forței de sudare este mai mare decât o valoare optimă, se produce o amprentare a reperului aflat în contact cu sonotrodă.

- Timpul de sudare ( $t_s$ ). Timpul de sudare reprezintă durata de transmitere a energiei ultrasonice, până la atingerea rezistenței maxime a îmbinării sudate. Timpul de sudare crește odată cu creșterea grosimii reperelor de sudat și cu scăderea puterii acustice. La sudarea MP, timpul de sudare se situează în mod obișnuit în domeniul  $t_s = 0,05 \dots 6 \text{ s}$ . Mărirea timpului de sudare peste o anumită valoare duce la o pronunțată subțiere a zonei îmbinării, ceea ce are drept urmare o scădere sensibilă a rezistenței sudurii prin apariția de fisuri .

- Timpul de menținere ( $t_m$ ). Timpul de menținere reprezintă timpul în care reperele sudate, după oprirea introducerii de energie acustică în acestea, sunt menținute sub presiune, în scopul răcirii zonei sudate. O alegere a timpului de menținere la o valoare prea scăzută are drept consecință o răcire necorespunzătoare a sudurii, cu posibilitatea de apariție de microfisuri în zona îmbinării .



- Frecvența oscilațiilor ultrasonice. Pentru sudarea MP valoarea optimă a frecvenței oscilațiilor se găsește în domeniul 18...40kHz. Dacă se lucrează la frecvențe mai ridicate, s-a constatat o creștere a pierderilor de energie ultrasonică.

- Amplitudinea oscilațiilor ultrasonice. Amplitudinea oscilațiilor determină încălzirea și totodată dimensiunea zonei deformat plastic, influențând astfel în final calitatea îmbinării sudate. Dependența rezistenței îmbinărilor sudate de amplitudinea oscilațiilor sonotrodei pentru câteva MP uzuale, este indicată în figura 7.

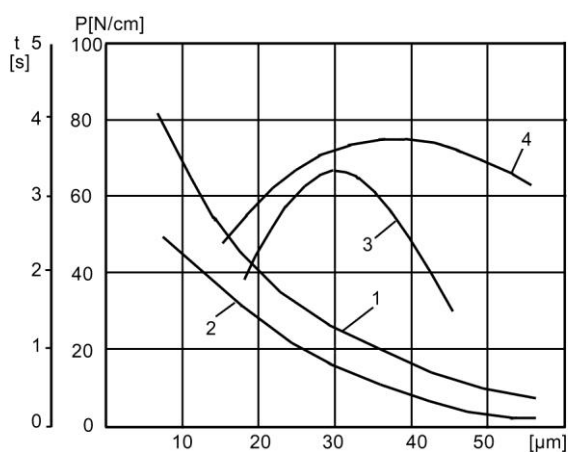


Figura 7. Influența amplitudinii oscilațiilor asupra duratei sudării și asupra rezistenței îmbinării:

1- durata sudării polietilenei 1+1 mm; 2- idem țesătură sintetică 600 + 500 μm;  
3- rezistența țesăturii de capron; 4- idem la polietilenă; 5- idem la polipropilenă

În general amplitudinea oscilațiilor se alege în funcție de MP, care urmează să fie sudat. Fiecare MB având un domeniu al amplitudinilor oscilațiilor, în care se poate suda în condiții optime, domeniu care este indicat în tabelul 3.

Creșterea amplitudinii, în raport cu valoarea optimă, are drept consecință o încălzire apreciabilă a MP, aflat în contact cu sonotroda, fapt care poate duce la distrugerea materialului, la apariția de cratere de descompunere în materialul topit și implicit la o rezistență scăzută a îmbinării sudate. Reducerea amplitudinii sub valoarea optimă are drept consecință o reducere a energiei mecanice (acustice) introduse în zona îmbinării, urmată de o scădere firească a rezistenței îmbinării.

Tabelul 3. Amplitudinea oscilațiilor la sudarea cu ultrasunete a MP uzuale

MP	Amplitudinea [μm]	MP	Amplitudinea [μm]
PS	15...30	PA	35...55
ABS	20...30	PETP	45...55
SAN	15...30	CA	25...35
PMMA	20...35	PVC- D	20...40
PPO	25...40	PVC-M	25...40
PC	25...40	PE	25...60
POM	40...50	PP	30...60

În figura.7 este redată și dependența timpului de sudare, funcție de amplitudinea oscilațiilor, observându-se că scăderea timpului de sudare se datorează unei creșteri a amplitudinii oscilațiilor.

#### • Ciclurile de sudare

Rezistența îmbinării sudate la SUS a MP este determinată în mare măsură de ciclul de sudare utilizat pentru realizarea îmbinării. Ciclurile de sudare folosite la SUS sunt prezentate în figura 8.

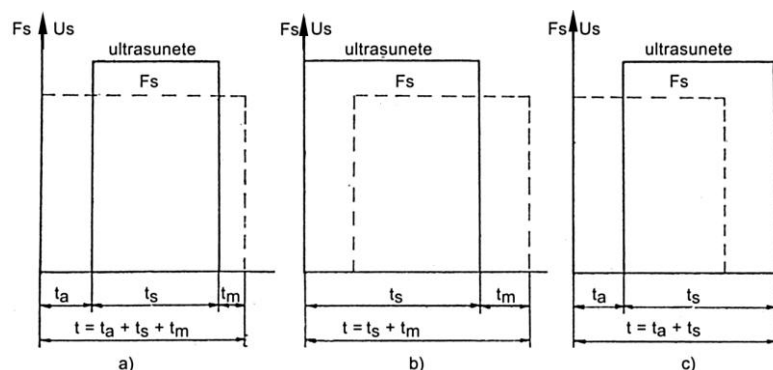


Figura 8. Cicluri de SUS.  $t_a$ -timp de acțiune;  $t_s$ -timp de sudare (durată impuls ultrasunete);  $t_m$ -timp de menținere

De obicei sunt utilizate ciclurile de sudare reprezentate în figura 8.a și 8.b. Ciclul prezentat în figura 8.c este utilizat foarte rar, deoarece deconectarea oscilațiilor ultrasonice se produce la încetarea aplicării forței de sudare, fapt care determină o creștere considerabilă a suprafeței sudate.

Trebuie specificat, că de obicei echipamentele de sudare industriale sunt realizate astfel încât asigura desfășurarea unui singur tip de ciclu de sudare.

#### • Coeficientul de calitate

SUS permite realizarea de îmbinări sudate cu rezistență superioară față de cele realizate prin alte procedee de sudare. Utilizând regimuri de sudare corect determinate, se pot obține îmbinări sudate având coeficienți de calitate indicați în tabelul 4.

Tabelul 4. Coeficienți de calitate la SUS

MP	Coeficient de calitate, $\square$	
	Sudare în câmp apropiat	Sudare în câmp depărtat
ABS	0,9...1	0,8...0,9
PMMA	0,85...1	0,7...0,9
SAN	0,9...1	0,8...0,9
PA-6	0,7...0,8	0,4...0,6
PC	0,9...1	0,8...0,9
PS	0,95...1	0,95...1

#### 4.5 Echipamente de sudare

Un echipament de SUS se compune din următoarele părți mai importante (figura 9):

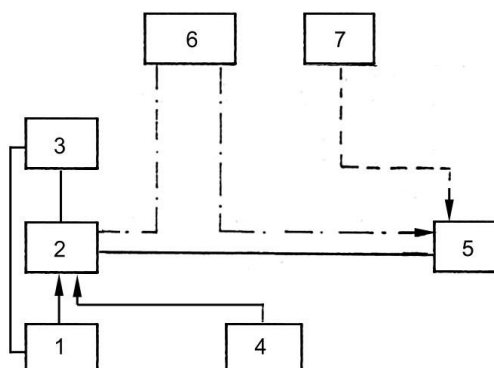


Figura.9. Schema - bloc a echipamentului SUS: 1- bloc de alimentare; 2- generator de înaltă frecvență; 3- apărătaș de comandă, control și protecție; 4- programator de sudare; 5- bloc ultrasonic; 6- sistem de realizare a presiunii statice; 7- redresor

• Sonotroda constituie scula de lucru la un echipament de SUS. Sonotrodele îndeplinesc în principal următoarele funcțiuni:

- transferă energia ultrasonică de la transductor spre locul prelucrării;
- concentrează și focalizează energia ultrasonică în zona de lucru;
- mărește amplitudinea decalajului frontului de ieșire a amplificatorului intermediar, constituind totodată și un adaptor de impedanță acustică între amplificatorul intermediar și sarcina din spațiul de lucru;
- sporesc la maxim randamentul sudării.

Prin forma lor foarte variată permit utilizarea SUS la o gamă foarte largă de forme constructive ale reperelor de sudat.

La sonotrode, modificarea impedanței acustice și a vitezei de oscilație, se realizează prin varierea secțiunii transversale.

În general la SUS se utilizează sonotrode distincte, în funcție de forma sudurii, tipul materialelor de sudat și grosimea reperelor de sudat.

Uzual, la SUS a MP, se folosesc două tipuri de sonotrode: sonotrode primare și sonotrode de contur.

Sonotrodele primare sunt la rândul lor de patru tipuri: cilindrice în trepte, conice, exponențiale și catenoidale.

Forma geometrică determină coeficientul de mărire a amplitudinii oscilațiilor ultrasonice generate de blocul ultrasonic. În cazul în care la ieșirea amplificatorului intermediar mărimea amplitudinii oscilațiilor ultrasonice este de  $10\mu\text{m}$ , amplitudinea oscilațiilor sonotrodei în funcție de forma geometrică a acesteia, este ilustrată în figura 10 ..

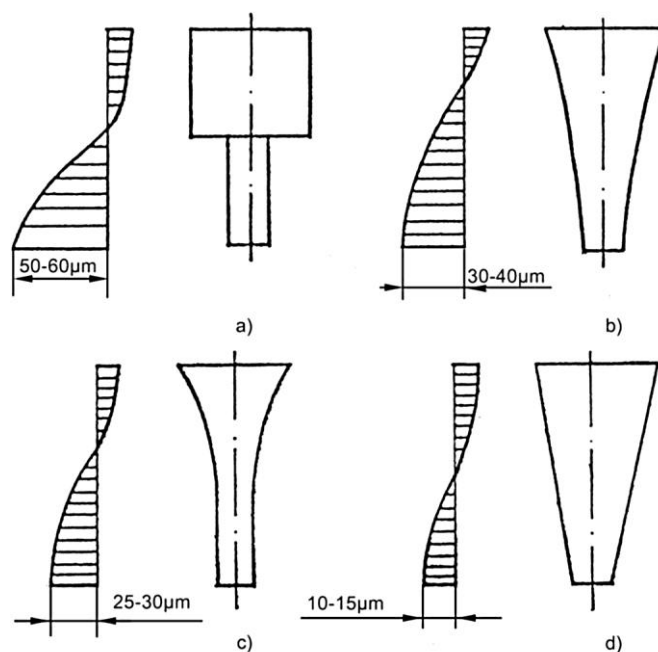


Figura.10. Amplitudinea oscilațiilor sonotrodei în funcție de forma geometrică a sonotrodei;

- a) sonotrodă cilindrică în trepte; b) sonotrodă catenoidală; c) sonotrodă exponențială;  
d) sonotrodă conică

Sonotrodele de contur au fost realizate în scopul executării de îmbinări de formă specială, cum ar fi pe contururi dreptunghiulare sau circulare.

Realizarea unei suduri bune a MP este condiționată de utilizarea unor sonotrode bine adaptate din punct de vedere acustic.

Cele mai bune rezultate se obțin utilizând în construcția sonotrodelor, MB având un coeficient de frecare internă scăzut, deci care opun o inerție mică transmiterii vibrațiilor, provocând totodată și o amortizare minimă a acestor vibrații. Materialul cel mai bun pentru construcția sonotrodelor este considerat în prezent titanul, care prezintă o rezistență mecanică ridicată și un coeficient de frecare internă scăzut. Titanul prezintă însă două inconveniente: pe de o parte prețul său ridicat, pe de altă parte prelucrarea sa dificilă. Pe plan internațional se utilizează cu bune rezultate aliaje de titan, cum ar fi: TiAlV64 sau aliaje de aluminiu ca AlCuMg2 sau AlCuMgPb. În construcția sonotrodelor de laborator se mai utilizează diverse mărci de oțeluri având rezistență la oboseală. În tabelul 5 sunt prezentate principalele materiale utilizate pe plan mondial în construcția sonotrodelor.

### Aplicații

SUS a MP și MCT este procedeul de sudare, care are o largă utilizare în diverse domenii ale producției industriale. Astfel SUS se aplică în industria constructoare de automobile, la sudarea corpurilor de iluminat, a bușoanelor de baterie, a componentelor tablourilor de bord și în general la majoritatea reperelor din MP și MCT. În industria electrotehnică se aplică la sudarea prizelor axiale, a carcaselor butoanelor de comandă, a soclurilor, a butoanelor de comutatoare rotative, a conectorilor, bornelor de racordare etc. În domeniul construcției de aparataj electrocasnic SUS se aplică în construcția mașinilor de spălat, a roboților menajeri și a aspiratoarelor. Industria de cosmetice utilizează și ea pe scară largă SUS la sudarea cutiilor pentru diverse creme, a capacelor pentru farduri, precum și la multe tipuri de ambalaje specifice acestui domeniu.

Tabelul 5. Materiale folosite la construcția sonotrodelor

MP	Viteza de propagare a undei $C$ [m/s]
Aliaje de titan TiAlV64	4900
Aliaje de aluminiu	
AlCuMg2	5100
AlCuMgPb	5000
Aluminiu	5100
Monel	4350
Oțel (RP11)	5250

După cum se constată, SUS se poate aplica în cele mai diverse domenii, cu condiția ca proiectantul de produs să prevadă, din prima fază utilizarea acestui procedeu, care permite o înaltă productivitate în condițiile unei producții flexibile.

SUS se folosește pentru confecționarea din polietilenă a sacilor, a containerelor, a tuburilor utilizate pentru păstrarea produselor alimentare și industriale.

### 4.3. Sudarea materialelor compozite metalice (MCM)

Materialele compozite cu matrice metalică (MCM) armate cu fibre se sudează prin diferite procedee. În general, dificultățile sudării MCM constau în:

- diferența mare dintre temperatura de topire a elementelor de armare (care poate atinge uneori  $2500^{\circ}\text{C}$ ) și cea a matricei (de ordinul  $600 - 1700^{\circ}\text{C}$ );
- conductibilitatea termică și căldura specifică diferite ale componentelor, ceea ce duce la o diferență între câmpurile termice și condițiile de cristalizare a componentelor;
- rezistența mecanică a MCM, spre deosebire de cea a materialelor tradiționale depinde de continuitatea fibrelor. Dacă la îmbinarea MCM se produce distrugerea acestei continuități, aceasta este greu de compensat;
- diferențele mari între coeficientul dilatării termice a matricei și cel al elementelor de armare, ceea ce determină apariția tensiunilor termice ridicate;
- chiar în cazul în care la metoda de sudare aleasă temperatura MCM este sub temperatura de topire a matricei, durata acțiunii căldurii poate fi destul de mare; de aceea componentele MCM intră între ele în interacțiune chimică și metalul își pierde parțial proprietățile de rezistență;
- problemele complexe ce apar în cazul proceselor de întindere pe suprafață și înmuiere a matricei la sudarea MCM armate cu fibre. Se impune rezolvarea unor aspecte esențiale, cum ar fi asigurarea răspândirii uniforme a fazei lichide a matricei și a obținerii unei suduri cu forma geometrică și dimensiunile stabilite, dar și garantarea îmbibării complete a straturilor de fibre, pentru evitarea discontinuității acestora;
- implicațiile fenomenului de difuzie ce are loc la interfața fibră-matrice, favorizate de câmpurile termice proprii procesului de sudare;
- stabilirea parametrilor de sudare optimi, fapt ce impune, în cazuri speciale, apelarea la modele matematice, ca puncte de pornire, rezolvabile de cele mai multe ori doar prin metode numerice, respectiv la softuri performante;
- probleme legate de reacțiile chimice dintre armături și matrice în timpul topirii și resolidificării;
- necesitatea monitorizării transferului de căldură și a dinamicii procesului de sudare;

k. faptul că nu pot exista niște scheme clare pentru rezolvarea problemelor de sudare propriu-zisă, pentru fiecare caz în parte de MCM, impunându-se luarea unor măsuri diferențiate, de la caz la caz .

## **5.PULVERIZARE TERMICA**

### **5.1 Aspecte generale**

Pulverizarea termică (PT) este un procedeu conex sudării, utilizat în scopul asigurării (realizării) unor acoperiri de protecție, recondiționării unor componente, pentru generarea unor forme, respectiv din considerente estetice.

Conform SR EN 657: 1997, PT cuprinde toate procedeele, prin care MA pentru pulverizare sunt aduse în stare plastică, în interiorul sau exteriorul aparatelor de pulverizare și apoi sunt pulverizate pe suprafața MB, pregătit în acest scop. Se subliniază că suprafața MB nu trebuie să ajungă în stare topită și că pentru obținerea proprietăților specifice ale straturilor, acestea pot fi tratate termic sau colmatate .

Proprietățile tipice ale straturilor pulverizate (conform SR EN 657:1999) sunt:

- Rezistență la aderență la tracțiune  $R_H$  (determinată conform SR EN 582: 1995)
- Duritate (determinată prin metoda Vickers ISO 6507-1:1982 și ISO 6507-2:1983), respectiv pentru straturile foarte moi se poate utiliza încercarea de duritate superficială Rockwell (ISO 6508:1986)
- Rezistență la coroziune
- Rezistență la forfecare
- Rezistență la uzare
- Izolare termică și electrică
- Conductivitate termică și electrică
- Rezistență la abraziune
- Tenacitate superficială
- Rezistență la șoc termic
- Permeabilitate .

- **Procedee de pulverizare termică. Clasificare și definire**

Există numeroase variante de procedee de PT. Clasificarea lor se face funcție de diferite criterii:

a. Tipul materialului pulverizat

- pulverizare cu sârmă
- pulverizare cu vergele
- pulverizare cu coardă flexibilă
- pulverizare cu pulbere
- pulverizare cu baie topită

b. Modul de execuție

- pulverizare manuală
- pulverizare mecanizată
- pulverizare automată

c. Purtătorul de energie

- **Materiale de adaos**

Materialele de adaos (MA) folosite la PT pot fi sub formă de pulberi (pulberi ceramice, pulberi metalice, sârme). Astfel, pulberile ceramice, pentru acoperiri prin PT, executate cu flacără oxiacetilenică sau jet de plasmă, în scopul asigurării rezistenței la abraziune, la frecare metal pe metal, la șocuri termice și la solicitări .

- **Pregătirea suprafețelor pentru pulverizare termică**

Pregătirea componentelor, în vederea aplicării acoperirilor prin PT, este aceeași, atât pentru recondiționarea pieselor uzate, fabricarea de piese noi, cât și acoperiri prin pulverizare, în scop anticoroziv sau decorativ.

Acoperirea prin PT trebuie efectuată la un interval de maximum 4 ore, după pregătirea suprafeței, iar în cazul unei atmosfere umede sau saline, după maximum 2 ore. Prin pregătirea suprafeței, se înțelege aducerea

suprafeței, care urmează a fi acoperită, într-o stare curată, care să permită o bună aderare a metalului depus. Metodele de pregătire ale suprafețelor sau combinațiile de metode în vederea acoperirii se stabilesc în funcție de specificul piesei, grosimea materialului depus și strea inițială a suprafețelor.

Pregătirea suprafețelor se realizează prin: degresare, sablare, aşchiere, asperizare mecanică.

- **DEGRESAREA** – Degresarea suprafețelor urmărește îndepărtarea substanțelor grase și bituminoase de pe suprafața, care urmează a fi acoperită, de pe suprafețele vecine acesteia, din orificiile și canalele de ungere.

Degresarea se execută înaintea sablării și se poate face chimic cu ajutorul solvenților (acetona, tricloretilenă) prin spălare sau imersie sau termic prin încălzirea suprafețelor, la o temperatură mai mare decât temperatura de volatilizare a substanțelor grase.

- **SABLAREA** – Sablarea este procedeul de pregătire a suprafețelor, prin care se urmărește a se aduce suprafața într-o stare curată, cu rugozitate corespunzătoare, care să asigure o bună aderență a materialului depus pe MB.

Toate materialele folosite la sablare trebuie să fie curate și uscate. Nu se vor folosi materiale, care au fost anterior folosite la alte lucrări de curățire ale suprafețelor.

Materialele folosite la sablare sunt:

- electrocorindon normal și carbură de siliciu. Ele au comportarea cea mai bună în procesul de sablare, în vederea acoperirii, deoarece au o duritate mare, iar granulele de abraziv prezintă muchii ascuțiți;
- granule de fontă, ce se caracterizează prin timp de folosire îndelungat. Nu se recomandă să se folosească pentru sablarea pieselor din metale neferoase, deoarece apar fenomene de coroziune;
- nisip cuarțos, care trebuie să prezinte granule cu muchii ascuțiți.

După executarea sablării, suprafața se suflă cu jet de aer, pentru a îndepărta urmele de praf. Gradul de curățire al suprafeței sablate se controlează vizual urmărind ca suprafața să aibă aspect mat, uniform; pot fi prezente puncte strălucitoare.

Rugozitatea suprafeței sablate, Ra, se recomandă să fie cuprinsă între 6 și 12  $\mu\text{m}$ .

- **AȘCHIEREA**- Așchiera este metoda de pregătire a suprafețelor, prin care se asigură o rugozitate mai mare ca în cazul sablării, dar nu se recomandă a se folosi la piesele solicitate la oboseală (ex. arbori cotiți).

Pregătirea suprafețelor prin aşchiere se realizează prin strunjire sau rabotare.

Acestea se execută fără mediu de răcire, pentru a evita contaminarea suprafeței cu substanțe grase sau umiditate.

**ASPERIZAREA ELECTRICĂ** – Pregătirea suprafețelor prin metoda asperizării electrice constă în aplicarea unui electrod de nichel, legat la o sursă de curent pulsant, pe suprafața de pregătit, legată la celălalt pol al sursei de curent. În urma stabilirii AE între electrodul de nichel și suprafața piesei apar mici cratere, care asigură rugozitatea necesară aderenței materialului depus la MB. Metoda se aplică la piesele cu pereți groși, solicitate static și cu duritate mare (STAS 11684/2-83).

De menționat că aderența, în procesul de metalizare termică, este un fenomen deosebit de complex. În succesiunea fazelor de formare a unui strat metalizat se întâlnesc următoarele tipuri de aderențe: aderență mecanică, aderență metalurgică, aderență superficială, aderență fizică, aderență difuzivă.

Factorii, care influențează aderența, pot fi grupați în:

- factori de proces – materialul substratului, tipul de aliaj utilizat la metalizare, temperatura particulelor din jetul de metalizare, mediul în care se desfășoară procesul de metalizare, cantitatea de oxizi din stratul metalizat
- factori tehnologici în legătură cu procesul – pregătirea suprafeței substratului, preîncălzirea substratului, tratamente ulterioare procesului de metalizare

În acest context SR EN 582:1995 prezintă condițiile impuse pentru realizarea rezistenței la aderență la tracțiune, a acoperirilor reale, realizate prin PT.

Parte integrantă a sistemului de asigurare a calității, pentru atelierele de pulverizare, verificarea de acceptare a echipamentelor pentru PT, este destinată furnizării dovezii privind aptitudinea echipamentului de a produce acoperiri prin pulverizare, de calitate uniformă, conform SR EN 1395:1999. Echipamentul pentru PT trebuie să fie în conformitate cu specificațiile de securitate, care se aplică. Instalarea sa se face, astfel încât procesul de pulverizare să nu fie afectat de alte echipamente de producție sau de condițiile de mediu. În SR EN 1395:1999 sunt date principiile verificării de acceptare, pe tipuri de echipamente.

- Recondiționarea componentelor prin PT

Procedeele de recondiționare ale pieselor prin PT, prezintă față de alte procedee de recondiționare, următoarele avantaje:

- după aplicarea PT, nu vor apărea tensiuni interne sau deformații, deoarece piesa suferă o încălzire redusă 120-150°C;
- se pot realiza straturi oricât de groase, luându-se doar măsuri pentru evitarea tensiunilor și fisurilor, ce pot apărea după metalizări prelungite;
- stratul obținut este poros, permițând înmagazinarea lubrifiantului, micșorând în acest fel frecarea la piesele în mișcare;
- se pot obține pseudo-aliaje din metalele, care nu se pot alia în stare topită, cum ar fi plumbul și aluminiul;
- față de acoperirile metalice în baia de metal lichid, se evită decarburarea sau alternarea metalului din baie, prin apariția de compuși intermetalici.

Dintre dezavantajele procedeelor de recondiționare prin pulverizare se menționează:

- stratul metalizat are o rezistență redusă la solicitarea de încovoiere și tracțiune, asemănătoare cu cea a fontei obișnuite;
- reziliența stratului este redusă, neprelucrându-se prin metalizare piese, care lucrează la șocuri;
- în straturile metalizate nu se pot executa filete sau canale, iar prelucrarea prin burghiere se execută cu atenție, pentru a nu se exfolia metalul de adaos, la ieșirea burghiului;
- piesele metalizate prin pulverizare nu pot fi prelucrate prin deformare plastică;
- este necesară o instalație de ventilație eficientă, deoarece operația de metalizare prin pulverizare este însoțită de degajarea unor cantități mari de praf metalic și gaze nocive .

Sunt prezentate rezultatele experimentale în domeniul acoperirilor termice prin pulverizarea în jet de plasmă a unor materiale ceramice utilizate la fabricația implanturilor protezelor chirurgicale .

S-au utilizat ca materiale pulverizante, materiale metalice și materiale ceramice pentru a compara caracteristicilor straturilor depuse

În tabelul 1 și 2 sunt prezentate pulberile utilizate pentru fiecare probă, fiind prezentate compoziția chimică și granulația pulberilor .

Tabelul.1 Caracteristici ale pulberilor

Nr. probă	Tip pulbere	Compoziția chimică [%vol.]	Granulație [ $\mu$ m]
1	Titan	99,9	125 - 45
2	Oxid de aluminiu	97% Al <sub>2</sub> O <sub>3</sub> , 2% TiO <sub>2</sub> , 0,5% SiO <sub>2</sub> , 0,5% Fe <sub>2</sub> O <sub>3</sub>	45 - 5
3	Oxid de zirconiu	92% ZrO <sub>2</sub> , 8% Y <sub>2</sub> O <sub>3</sub>	75 - 15

Table 2 Valorile capacității de curgere a pulberilor [16]

Tipul pulberii	Timp de curgere a 20 cm <sup>3</sup> [s]	Unghiul de taluz natural
Titan	64	39°
Oxid de aluminiu	Nu curge	—
Oxid de zirconiu	37	32°

Capacitatea necorespunzătoare de curgere a pulberii de oxid de aluminiu se poate explica prin granulația mică a acesteia, așa cum se poate observa și din tabelul.1, respectiv datorită densității relativ redusă a acesteia (4.2 g /cm<sup>3</sup>). Ca și gaz plasmagen respectiv de transport, s-a utilizat un amestec argon-hidrogen (Ar + 6,5% H<sub>2</sub>). Se execută depuneri pe probe de titan (Ti<sub>6</sub>Al<sub>4</sub>V) având dimensiunile: 20x10x2 mm. Depunerile s-au executat manual prin pulverizare în jet de plasmă. Stratul depus s-a executat prin mai multe treceri succesive. Grosimea stratului depus este 0,10...0,20 mm.

Parametrii regimurilor de lucru sunt prezentați în tabelul 3.

Tabelul.3 Detaliere parametrii de lucru la PT

Nr. probă	Tip pulbere	U <sub>a</sub> V	I <sub>p</sub> A	Q <sub>p</sub> l/h	Q <sub>tr</sub> l/h	M <sub>p</sub> cm <sup>3</sup> /min	d <sub>p</sub> mm
1	Ti	70	400	2200	300	18	8
2	Al <sub>2</sub> O <sub>3</sub>	72	500	2200	300	13	5-10
3	ZrO <sub>2</sub>	74	500	2200	300	15	5-10

Unde: U<sub>a</sub> – tensiunea arcului de plasmă  
I<sub>p</sub> – intensitatea curentului arcului de plasmă  
Q<sub>p</sub> – debitul de gaz plasmagen  
Q<sub>tr</sub> – debitul de gaz de transport  
M<sub>p</sub> – debitul de pulbere  
d<sub>p</sub> – distanța de pulverizare

Probele realizate în cadrul programului experimental se analizează din punct de vedere macroscopic pentru a determina aspectul general respectiv microscopic.

Întrucât nu s-au observat dificultăți de curgere a pulberilor în timpul pulverizării termice s-au creat premisele obținerii unor rezultate repetabile .

Porozitatea straturilor a fost analizată și măsurată prin analiză numerică, pe imagini scanate în secțiunea transversală a straturilor (figura.4) .

Tabelul.4.Porozitatea calculată prin analiză numerică

Tip pulbere	Ti	Al <sub>2</sub> O <sub>3</sub>	ZrO <sub>2</sub>
Nr. Probă	1	2	3
Porozitate [%]	5,9	8,0	15,2

Cele mai ridicate valori, o au straturile de oxid de zirconiu, care datorită temperaturilor de topire ridicate, precum și granulației mai grosiere conțin un grad mai mare de particule netopite sau parțial topite.

Valori reduse ale porozității prezintă pulberile de oxid de aluminiu. Aceasta poate fi pusă pe seama granulației fine și topirii mult mai rapide a pulberilor în jet. Cea mai redusă porozitate o au straturile de titan, datorită temperaturii scăzute de topire a pulberilor de titan.

Încercarea la aderență prin tracțiune a straturilor se efectuează în conformitate cu SR EN 582 – 1995.

Tabelul.5 prezintă valorile aderenței, pentru toate probele examinate respectiv valorile medii ale acestora, cu indicarea observațiilor privind modul de rupere al straturilor . Așa cum se poate observa, aderența straturilor ceramice pe substrat de titan, fără strat tampon, sub relativ scăzute.

Tabelul.5 Valori ale aderenței straturilor

Număr probă		Tip strat	Tensiunea de rupere (MPa)		Observații
1.	1	Ti	17,0	17,2	10% în strat, 90% la interfață
	2		17,3		5% în strat, 95% la interfață
	3		17,2		5% în strat, 95% la interfață
2.	1	Al <sub>2</sub> O <sub>3</sub>	11,9	11,9	45% în strat, 55% la interfață
	2		11,5		55% în strat, 45% la interfață
	3		12,4		65% în strat, 35% la interfață
3.	1	ZrO <sub>2</sub>	7,1	7,1	80% în strat, 20% la interfață
	2		7,0		85% în strat, 15% la interfață
	3		7,2		90% în strat, 10% la interfață

Schema instalației de pulverizare în jet de plasmă este prezentată în figura.1 .

Fig.1 Instalația de pulverizare în jet de plasmă

Instalația de pulverizare în jet de plasmă cu pulberi, IPP 800, are în componență următoarele subansambluri: sursa de curent, pupitrul de comandă, pistolul de pulverizare manual, pistolul de pulverizare automat, dozatorul de pulbere, instalația de răcire, echipamentul de sablare.

Principalele caracteristici tehnice ale instalației sunt:



- tensiunea de alimentare: 3x380V
- puterea aparentă: 100KVA
- tensiunea de mers în gol: 130V
- domeniul de reglare a curentului: 150-800A
- curentul maxim al sursei (DA 60%): 800A
- caracteristica externă a sursei: abrupt coborâtoare
- debit gaz plasmagen (la p=3bar): 50l/min
- debit gaz transport: 5l/min
- debit apă de răcire pistol: 15l/min
- presiunea apei de răcire pistol: min. 11bar
- volumul buncărului la dozatorul de pulbere: 2000 cm<sup>3</sup>
- domeniul de reglare al debitului de pulbere: 5-50cm<sup>3</sup>/min.

## **6. RECONDITIONARE FONTE**

### **6.1 Proprietăți fonte**

Fonta are o mare utilizare ca material de bază pentru batiuri de mașini unelte, blocuri și motoare navale, utilaje metalurgice ș.a., având în vedere proprietățile sale foarte bune de turnare, rezistență ridicată la uzură, prelucrabilitate bună și preț de cost scăzut. Pe lângă aceste avantaje, prezintă și o serie de neajunsuri legate de lipsa aproape totală a plasticității și rezistența mecanică scăzută.

Fontele sunt aliaje fier-carbon cu  $2,5\% \leq C \leq 4,5\%$  având și elemente însoțitoare (S, P, Si, Mn), iar uneori și elemente de aliere (Ni, Cr, W). Ele se clasifică astfel:

- După modul în care se află carbonul, fontele se clasifică în trei grupe: fonte cenușii(carbonul, este liber și apare în structură sub formă de lamele); fonte albe (carbonul este legat în cementită și/sau ledeburită); fonte pestrițe (amestec de fontă cenușie cu fontă albă).

- După formarea carbonului liber, fontele cenușii se clasifică în:

- ▶ fonte cu grafit lamelar - SR EN 1561-99,
- ▶ fonte cu grafit nodular - SR EN 1563-99,
- ▶ fonte cu grafit în cuiburi - SR EN 1562-99.

- După aspectul ruperii:

- ▶ fonte cenușii - ISO R 185-61,
- ▶ fonte pestrițe - ISO R 5922-81,
- ▶ fonte albe - BS 4944-1986.

Nodulizarea carbonului liber se poate face introducând magneziu sau prealiaje ale acestuia în formă lichidă. Carbonul liber sub formă grupată de cuiburi se obține tratând termic fonte albe. Acest tratament se numește „maleabilizare” și rezultatul este fonta maleabilă. După masa metalică de bază, fontele cenușii pot fi: perlitice, feritoperlitice și feritice. Solidificarea fontei lichide sub formă cenușie sau albă depinde de viteza de răcire  $v_r$ : la  $v_r$  mare → fontă albă, iar la  $v_r$  mică → fontă cenușie și de raportul între elementele grafitizante și elementele antigrafitizante din fonta lichidă. Grafitizanții, în ordinea descrescătoare a intensităților lor: C – Si – Al – Ni – Co – Cu, iar antigrafitizanții, în aceeași ordine sunt: S – V – Cr – Sn – Mo – Mn. În tabelul.1. sunt date compozițiile chimice ale principalelor tipuri de fonte. De menționat că sudarea fontelor este limitată la cele cenușii lamelare, nodulare și maleabile, fiind utilă însă la remanierea pieselor.

Tabelul.1. Compozițiile chimice

Tipuri de fonte	Compoziția chimică, %				
	C	Si	Mn	S <sup>*)</sup>	P <sup>*)</sup>
Cenușie	2 – 4	min. 1	max. 1	0,2	0,6
Maleabilă	2 – 3	0,9 – 1,8	0,25 – 1,25	0,2	0,2
Nodulară	3,2 – 4	1,8 – 2,8	max. 0,8	0,03	0,1
Albă	2,5 – 4	0,4 – 1,6	0,3 – 0,8	0,15	0,4

<sup>\*)</sup> S și P sunt conținuturile maxime

În realizarea operațiilor de sudare și recondiționare prin sudare a fontelor apar, o serie de dificultăți legate de particularitățile și proprietățile metalului, din care se menționează :

- plasticitatea lor foarte redusă ce determină o accentuată înclinație spre fisurare;

- conductibilitatea termică este mai mică decât a oțelurilor și deci există pericolul de supraîncălzire în regiunea aplicării recondiționării prin sudare;
  - întrucât temperatura de topire a fontelor este mai joasă decât a oțelurilor, picăturile, care vin de la metalul de adaos, au un conținut mai redus de căldură și apare pericolul să nu se topească MB (acest fenomen provoacă gravul defect al lipsei de topire, slăbind legătura sudurii cu MB);
  - la temperatura critică de circa 788°C, fontele devin austenitice în cursul încălzirii; după sudare, grafitul nu se precipită din cauza vitezelor mari de răcire și rezultă fonta albă, sau în cel mai bun caz, pestriță și ca urmare duritatea mare a structurii face prelucrarea imposibilă și favorizează fisurarea zonei;
  - conducția termică redusă și plasticitatea mică generează tensiuni mari în îmbinare, mărindu-se astfel pericolul de fisurare;
  - din cauza fulgilor și modulelor de grafit, legătura sudurii cu MB se face numai pe 70 – 80 % din suprafața de contact, restul de 20 – 30 % fiind grafit, pe care nu aderă picăturile materialului de adaos .
  - conținutul ridicat de carbon conduce la apariția structurilor dure în condițiile vitezelor obișnuite de răcire la sudare. Se obțin astfel zone cu duritate ridicată, greu sau imposibil de prelucrat pe cale mecanică, provocate de fenomenul de albire a fontei;
  - variația temperaturii de încălzire în îmbinarea sudată, ca urmare a ciclului termic, provoacă tensiuni interne, care pot produce cu ușurință fisuri din cauza plasticității foarte scăzute a fontei. Apariția structurilor albe care au o densitate mai mare ca cele ale fontei cenușii conduce la intensificarea tensiunilor și a creșterii pericolului de fisurare,
  - baia de zgură este foarte fluidă la sudarea fontei. Din acest motiv este greu să se mențină și să se formeze sudura, mai ales în poziții dificile așa cum este adesea cazul la fasonarea unor porțiuni rupte în procesul de reparație;
  - fenomenele de oxidare și reducere care au loc în timpul sudării provoacă o cantitate mare de gaze în faza lichidă, care nu reușesc să se elimine integral în procesul de cristalizare, provocând astfel pori în îmbinare;
  - conținutul ridicat de elemente însoțitoare și în special de siliciu provoacă oxizi greu fuzibili care împiedică uneori pătrunderea necesară a sudurii. Dintre elementele care caracterizează în cea mai mare măsură procesul de sudare a fontei sunt compoziția chimică (în special conținutul de carbon și siliciu) și viteza de răcire.
- În general viteza de răcire se reglează pe seama temperaturii de preîncălzire în vederea sudării, în funcție de care posibilitățile de sudare a fontelor se împart în :
- sudarea la cald, atunci când temperatura de preîncălzire este de 500 ...600°C;
  - sudarea la semicald, cu temperaturi de preîncălzire de până la 300 ...400°C;
  - sudarea la rece a fontei.

## 6.2 Procedee de încărcare prin sudare

- Încărcarea cu flacără oxigaz (FO)

Procedul FO (311) este folosit atât pentru sudare, cât și pentru recondiționare și în acțiuni de mentenanță.

Echipamentul de sudare conține:

- generatorul de producere a acetilenei, prevăzut cu filtru chimic și supapă de siguranță hidraulică, furtunuri de admisie gaz, arzător de sudare, butelie de oxigen cu reductor, debitmetre, diverse accesorii.

Recondiționarea prin sudare cu flacără oxiacetilenică a pieselor din fontă se execută cu preîncălzirea acestora în cuptoare, la temperaturi 600 - 650°C (culoare roșu închis). Pentru sudare piesa este așezată la gura cuptorului, astfel încât suprafața de sudat să fie orizontală, restul piesei acoperindu-se cu o foaie de azbest. Dacă se recondiționează fisuri sau crăpături, atunci la capetele acestora, la cel puțin 15 mm de extremitatea fisurii, se execută orificii de 3...5 mm pentru a împiedica fisurarea în continuare. Marginile crăpăturii se prelucrează prin dăltuire, polizare sau frezare, pe toată lungimea lor, plus 15...25 mm, formând o creștătură în formă de „U”, cu un unghi de 90...120°.

Ca material de adaos se folosește o vergea care are următoarea compoziție chimică: 3...3,4% C, 4...4,5% Si, 0,2...0,4% P, 0,6...0,8% Mn și maxim 0,66% S. Întrucât temperatura de topire a fontei este de 1200° C, deci este mai mică decât cea a oxizilor (1400° C), este necesar să se folosească fluxuri de sudare. Pentru fontă fluxul are în componență boraxul; amestecul format din 50% borax, 47% bicarbonat de sodiu și 3% bioxid de siliciu; amestecul alcătuit din 56% borax, 22% bicarbonat de sodiu și 22% carbonat de potasiu;

amestecul format din 80% sodă calcinată, 18% acid boric și 2% bioxid de siliciu; După sudare piesa de recondiționat este răcită lent. Atât preîncălzirea, cât și răcirea lentă a piesei creează condiții pentru ca materialul depus să se contracte uniform și să prevină apariția fisurilor. Răcirea lentă se realizează fie în cuptoare (piesa se răcește odată cu cuptorul), fie prin învelirea ei în azbest.

- Încărcarea prin procedeul de sudare cu electrozi înveliți (SE)

Procedeul de sudare/încărcare prin sudare cu electrozi înveliți (SE-111), se desfășoară prin menținerea AE între electrodul învelit și piesa de sudat/încărcat.

Sudarea SE se aplică mult, la recondiționarea fontelor cenușii. Ca material de adaos se utilizează electrozii MONEL (60% Ni și 25% Cu) sau vergele din oțel cu înveliș bazic (EF –Fe). Avantajul utilizării electrozilor înveliți EF – NiCu, EF – NiFe, EF – Ni cu vergea de Ni sau aliaj de Ni constă în faptul că sudura , în ZIT nu se fisurează. Electrozii EF –Fe produc o zonă de fontă albă de duritate mare favorabilă fisurării. Rezistențele mecanice maxime ale cusăturii se obțin la folosirea electrozilor EF – NiFe (220HB).

Caracteristicile tehnice de bază și indicațiile de utilizare, pentru cele trei tipuri de electrozi amintiți astfel:

- Tipul EF – NiFe

Electrozi cu vergea dintr-un aliaj NiFe .

Acești electrozi permit sudare la rece a pieselor din fontă cu conținut ridicat de fosfor. Caracteristicile mecanice ridicate ale metalului depus permit sudarea pieselor mari și a celor solicitate mecanic. În anumite cazuri, se admite și sudarea cu o preîncălzire uniformă a piesei la aproximativ 200°C. Duritatea metalului depus este maxim 220 HB. Culoarea metalului depus diferă de cea a metalului de bază.

- Tipul EF – Ni

Electrozi cu vergea din Ni.

Acești electrozi se recomandă pentru sudarea la rece a pieselor din fontă de dimensiuni mici și mijlocii. Conținuturi mai ridicate în fosfor al metalului de bază limitează utilizarea acestui tip de electrod. Duritatea metalului depus este de 150 – 200 HB. Culoarea metalului depus diferă de cea a metalului de bază.

- Tipul EF – NiCu

Electrozi cu vergea dintr-un aliaj Ni – Cu (Monel).

Acești electrozi se recomandă pentru sudarea la rece a pieselor din fontă. Sensibilitatea metalului depus față de metaloizii din metalul de bază este mai mare ca la electrozii de tip Ni și Ni – Fe. Duritatea metalului depus este de aproximativ de 140 HB. Se recomandă preîncălzirea joasă înainte de sudare. Culoarea metalului depus diferă de cea a metalului de bază.

În tabelul.2 sunt date tipurile de electrozi pentru sudarea fontei, cu indicarea producătorilor acestora .

La recondiționarea prin sudare a fontelor este necesar ca sudurile să se execute cu curenți reduși (100...110 A, pentru diametre de electrozi de 3,2 mm); depunerile prin sudare pe perimetrul spărturii sau pe lungimea fisurii trebuie alternate în așa fel, încât să nu se depășească 50 mm depunere pe etapă (fig.1, a, b); intervalul dintre sudurile vecine să fie de minimum 10...15 mm; pregătirea fisurii , rupturii să fie executată prin prelucrare mecanică (fig.2 a, b); limita superioară a temperaturilor în zona influențată termic să nu depășească 70° C; să se utilizeze curent continuu cu polaritate directă (polul minus la electrod) .

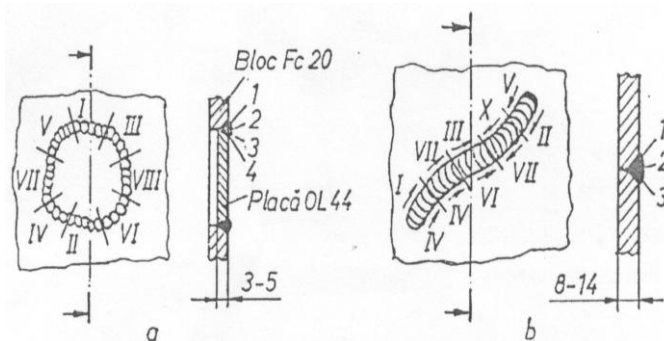


Figura 1 Încărcarea prin sudare a spărturilor și crăpăturilor:

a – succesiunea fazelor de recondiționare prin sudare a blocului spart (I-VIII – ordinea aplicării cordoanelor; 1-4 ordinea depunerilor straturilor de îmbinare); b - succesiunea fazelor de recondiționare prin încărcare cu arc electric al blocului de cilindrii și a carcaselor fisurate sau crăpate (I-X – ordinea de depunere a straturilor în fisura prelucrată mecanic)

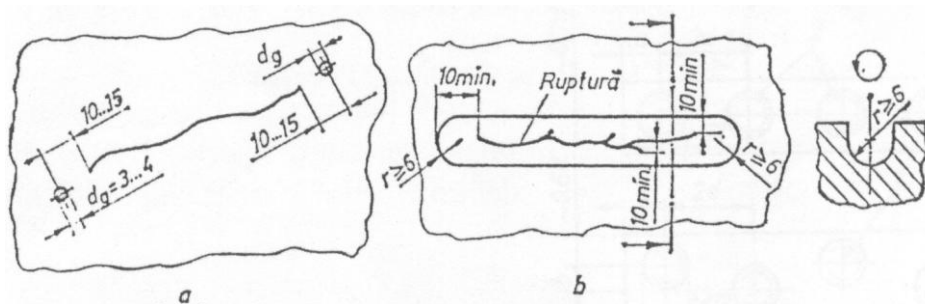


Figura 2 Pregătirea

pieselor: a – a zonelor fisurate; b – a rupturilor

Echipamentul de sudare folosit este un convertitor de sudare, iar MA îl constituie electrozii pentru încărcare EICr9Si. Duritatea nominală a metalului depus este de 45...50 HRC. O variantă de tehnologie de recondiționare este următoarea: pregătirea piesei pentru încărcare, care constă din îndepărtarea oxizilor și a impurităților de pe suprafețele ce urmează a fi încărcate;

- uscarea electrozilor, înainte de încărcare, timp de două ore la temperatura de 250...300° C;
- preîncălzirea piesei la temperatura de 400° C;
- depunerea pe suprafețele de recondiționat, folosindu-se electrozi cu diametrul de 4 mm, valoarea curentului de sudare  $I_s = 140...170$  A, tensiunea arcului  $U_a = 23...24$  V, viteza de depunere  $v_d = 1,1-1,4$  cm/min, temperatura piesei între două depuneri consecutive fiind de 250...300° C;
- răcirea lentă a piesei în nisip;
- controlul vizual sau cu lichide penetrante al piesei după încărcarea .
- rectificarea suprafețelor încărcate.

După recondiționare, piesa are o duritate similară cu aceea a unei piese noi.

Există posibilitatea pregătirii marginilor prin crăițuire cu electrod. Este însă recomandat ca această operație să se execute numai la grosimi mai mari ale pieselor ca și în cazul când materialul de bază (fontă) a fost supusă în exploatarea unor agenți chimici sau la temperaturi ridicate. În toate variantele, după crăițuire este obligatorie curățirea rostului pregătit prin polizare.

Pregătirea marginilor prin polizare cere timp de execuție minim mai ales în cazul pieselor mari. În cazul în care se cer suduri etanșe se recomandă ca după polizare marginile să fie pilite pentru a se îndepărta eventualele resturi provenite din piatra de polizor .

O altă modalitate de pregătire, mai ales în cazul pieselor mici și în toate cazurilor, când se cere executarea unor suduri etanșe, este pregătirea marginilor prin dăltuire. Dăltuirea este obligatorie și în cazul unor fonte cu urme puternice de ulei sau arsuri, care se pun în evidență după sudarea primului strat prin porii existenți. Astfel de cazuri apar frecvent la recondiționarea prin sudare a fisurilor. În cazul unei calități necorespunzătoare a materialului de bază, în multe cazuri se impune dăltuirea repetată a primului strat în vederea realizării unui strat de legătură omogen, lipsit de pori .

În toate cazurile și modalitățile de pregătire a marginilor este obligatorie rotunjirea muchiilor marginilor. Deoarece electrozii folosiți la sudarea la rece a fontei au în toate cazurile caracteristici mecanice superioare materialului de bază, se recomandă pentru suduri etanșe, pregătirea să se facă maximum 2/3 din grosime, iar în cazul pereților subțiri să se facă pregătirea în U și nu în V, iar în cazul pereților groși în dublu U și nu în X. În figura 3. se reprezintă această modalitate de pregătire.

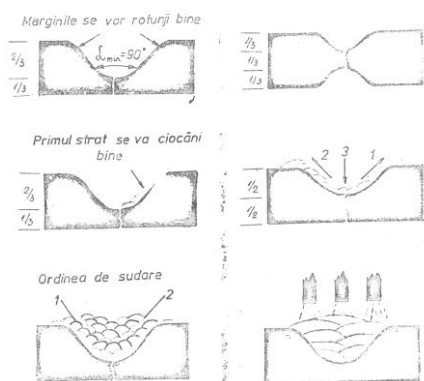


Figura 3 Moduri de pregătire a marginilor pieselor din fontă

Experiența impune pentru depunerea primului strat să se folosească un electrod de nichel pur. În cazul unor suduri etanșe primul strat de sudare se va suda obligatoriu cu un electrod cu un curent de sudare de 45 A în rânduri subțiri cu supraînălțare mică. Pentru suduri etanșe, chiar și în cazul folosirii electrozilor din nichel pur se recomandă ciocănirea sudurii realizate. În primul

rând trebuie realizată o placare a marginilor cu material de adaos și numai după aceea să se realizeze restul sudurii așa cum se prezintă în figura 3 în cazul în care se folosește un alt tip de electrod decât nichel curat, nu se recomandă ciocănirea primului strat.

Realizarea unor suduri etanșe la rece, constituie problema cea mai delicată a sudării fontelor. Numai o tehnică corectă poate rezolva corect problema deoarece nu materialul de adaos este hotărâtor în acest caz, (el are întotdeauna caracteristici mecanice superioare) ci mărimea critică a zonei influențată termic și tehnica de lucru. Mai contribuie de asemenea și corectitudinea pregătirii materialului pentru sudare ca și execuția în sine. În cazul unor fisuri, este necesar ca extremitățile acestora să fie depistate și oprite de a se putea propaga în timpul sudării prin realizarea unor găuri cu diametrul de 4...6 mm, sau prin realizarea sudurii transversale pe direcția de propagare a fisurii care să depășească axa fisurii cu 2...4 cm în dreapta și în stânga așa cum se prezintă în figura.4.

Se va suda de la mijlocul fisurii spre dreapta și spre stânga alternativ după ordinea indicată în figura 4 în secvențe scurte. Tehnica aceasta de sudare este valabilă pentru fisurile în pereți compacți ale unor organe de mașini sau carcase de motor în rest pentru fisuri care se propagă din margine dinspre exterior.

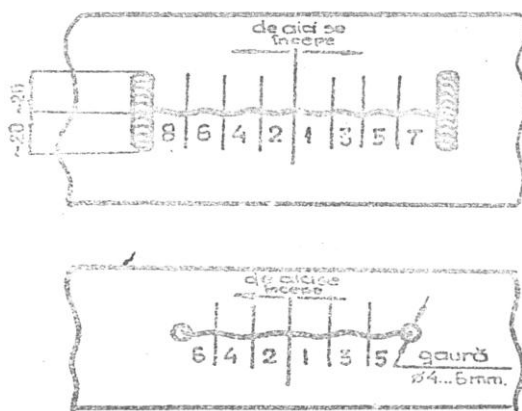


Figura 4 Ordine

secvențială de depunere

Se vor respecta în toate cazurile următoarele reguli generale:

a – în cazul pereților subțiri marginile se vor pregăti prin dălțuire, conform celor prezentate în figura.4.  
b – extremitățile fisurilor trebuie delimitate prin găurire sau executarea unor suduri scurte perpendiculare pe cea de propagare a fisurii, în cazul în care una din depunerile de oprire se fisurează, înseamnă că tensiunile interne sunt puternice și marginea fisurii și trebuie oprită printr-o nouă sudură sau găurire.

c – se recomandă placarea marginilor pregătite printr-un strat subțire bine ciocănit

$\phi$  - 2 mm ( $I_s = 45$  A) maximum  $\phi$  - 2,5 mm ( $I_s = 60$  A).

În cazul pereților subțiri se recomandă realizarea unor suduri scurte de lungime maximă de zece ori diametrul electrodului. Ciocănirea are loc imediat încă în starea caldă a sudurii.

d – în cazul sudurilor etanșe primul strat trebuie să fie lipsit de pori și în cazul apariției acestora ca efect al unei calități necorespunzătoare a MB, acest strat trebuie îndepărtat prin dălțuire. Dălțuirea dă întotdeauna o imagine clară a legăturii realizate.

e – îndepărtarea zgurii este importantă mai ales la suduri etanșe. Pentru aceasta se recomandă ca după fiecare dălțuire, să se îndepărteze resturile de zgură cu perii de sârmă până la luciu.

f – pentru cazul sudării în straturi multiple se recomandă o sudare combinată, adică straturi alternative din electrod de fontă și electrod de nichel pur. Pentru toate tipurile de fontă primul strat se sudează cu un electrod de fontă. Se recomandă ca primul strat să fie sudat cu un electrod cu un diametru cât mai mic posibil, iar pentru straturile următoare diametrul electrodului poate fi mărit. Dacă se sudează în mai mult de patru straturi, atunci combinația se va realiza începând de la al treilea strat pentru a se realiza o omogenitate a materialului depus.

g – pentru a se obține suduri de calitate ale fontei cenușii se recomandă mărirea curentului de sudare cu aproximativ 30% față de valoarea normală. Se recomandă sudare în curent continuu cu polaritate directă sau curent alternativ. Electrocul se ține în poziție verticală, lungimea arcului fiind 3...4 mm.

- Sudarea cu plasmă (SP)

La sudarea SP (15) constrângerea arcului de către duza din Cu permite un arc columnar, insensibil la variațiile lungimii, foarte stabil și la curenți mici ( $< 15$ A), cu o densitate de putere mare ( $5 \times 10^8$  W/m<sup>2</sup>).

Aplicarea procedurii SP se face la recondiționarea cu acest procedeu a fontelor nealiat cu grafit sferoidal, cu caracteristici apropiate de cele ale oțelurilor carbon pentru turnătorie, din componența tubulaturilor (canalizărilor) .

Întrucât gazele plasmogene utilizate la SP sunt neutre sau reducătoare, ele nu oxidează magneziul, elementul esențial ce asigură sferoidizarea grafitului. În cazul utilizării unui echipament de sudare obișnuit, regimul de sudare este dat în tabelul.3.

Tabelul.3 Condiții de sudare

Virola	Diametrul	φ 150	φ 250	φ 500
	Grosimea	≠ 6...7	≠ 6...7	≠ 8...10
Temperatură de preîncălzire	° C	257 – 297	297	357 – 407
Curent de sudare	A	120	125	150
Tensiunea arcului	V	28 – 30	33	32
Viteza de sudare	cm /min	22	20	9
Debit gaz plasmagen	l / min	6	6,5	6
Debit gaz protecție	l / min	12	12	15

S-a constatat că atunci când se lucrează fără MA, depunerile au aceeași compoziție chimică cu MB, doar concentrația de magneziu puțin redusă. După sudare, structura lor este ledeburitică. Prin menținerea timp de 20...30 min. la temperatura de 977° C urmată de răcirea lentă (recoacere) grafitul devine sferoidal, cu nodul fini, repartizați regulat. Depunerile obținute cu 20% MA constituit din oțel slab aliat cu mangan – siliciu, au o geometrie corectă (dublu bombată). Caracteristicile mecanice ale îmbinării lor după recoacere sunt comparabile cu cele ale metalului de bază .

- Sudarea MIG

La sudarea MIG (131) dacă se folosesc sârme din oțel nealiat cu puțin carbon, gazul de protecție va fi amestecul: 75% Ar + 25% CO<sub>2</sub> . Pentru aceleași materiale de bază de recondiționat, în cazul sârmelor din aliaje neferoase (Ni) se recomandă argon sau amestecul: 50% Ar + 50% He.

Literatura de specialitate indică și cazul utilizării sârmelor tubulare la recondiționarea fontelor, reglementând utilizarea acestora pentru sudarea semimecanizată și mecanizată.

Mecanizarea operațiilor de sudare, respectiv introducerea unor tehnologii performante conduce la importante reduceri ale costurilor de producție (cca. 20% doar la reduceri ale consumului de materiale de adaos), ridicarea nivelului calitativ, cât și la creșterea productivității lucrărilor de sudare.

Pe plan internațional, datorită dezvoltării și promovării în ultimii ani a unor sârme pline și tubulare înalt aliate cu Ni cu diametru mic, s-au putut cerceta și implementa tehnologii performante de sudare și recondiționare mecanizată în mediu de gaze sau amestecuri de gaze protectoare (MIG/MAG, WIG).

În vederea realizării scopului propus, s-au executat mai multe variante tehnologice de depuneri MIG/MAG pe plăci de fontă cenușie. Depunerile au fost realizate într-un singur strat, apoi au fost lăsate să se răcească în aer liniștit, fără curenți de aer. Compoziția chimică a plăcilor de probă este prezentată în tabelul.4

Tabelul.4 Compoziția chimică a metalului de bază (MB)

Locul determinării	Compoziția chimică, [%]							
	C	Mn	Si	Mo	Cr	S	P	Fe
MB	3,25	0,56	2,38	0,01	0,04	0,082	0,119	rest

Analiza metalografică a plăcilor de probă a pus în evidență structuri de ferită și perlită (F 70 / P 30), grafit lamelar, eutectic fosforos, specifice fontelor cenușii; izolat s-au constatat cuiburi de grafit care pot avea efecte nefavorabile la sudare, ca amorse de microfisuri.

Din multitudinea de sârme de sudare și gaze de protecție utilizabile la sudarea MIG/MAG, s-au ales pentru experimentări trei tipuri de cupluri sârmă – gaz de protecție, și anume:

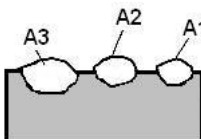
- Sârma și gazele de protecție utilizate sunt prezentate în tabelul.5.

Sârmă de sudare marcă/tip	Compoziția chimică, [%]	Gaz de protecție marcă/tip	Compoziția chimică, [%]
LNM Ni-Fe / SNI-Fe-C1  Ø1,2 mm	Ni = 57  C = 0,70 Mn = 0,8  Si = 0,1 Fe = rest	Argon – I1	Ar = 100
		Corgon 18 – M.2.1	Ar = 82 CO <sub>2</sub> = 18
		Dioxid de carbon – C1	CO <sub>2</sub> = 100

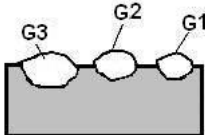
- ◆ crește rezistența și ductilitatea depunerii;
- ◆ reduce coeficientul de dilatare termică a depunerii;
- ◆ conduce la acceptarea unui nivel mai ridicat de fosfor în materialul de bază.

Pentru experimentările de sudare s-a utilizat un echipament MIG/MAG. Pistoletul s-a montat pe un tractor ce se deplasează pe un ghidaj de rulare pentru a obține valori stabile și reproductibile ale parametrilor măsurați.

În vederea executării probelor sudate cu diferite cupluri sârmă – gaz de protecție, plăcile de probă au fost preîncălzite la 100-120°C. Preîncălzirea s-a efectuat cu flacără oxigaz, iar verificarea temperaturii s-a făcut cu crete termocrom. Pe fiecare placă de probă s-au depus, cu câte un cuplu sârmă – gaz, trei rânduri de sudură cu regimuri tehnologice diferite, conform fișelor tehnologice cu parametrii de sudare nr. 1 (Argon), tabelul 7.6, nr. 2 (Corgon 18) tabelul 7... nr. 3 (CO<sub>2</sub>) tabelul 8 .

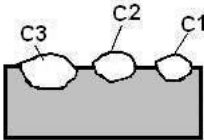
Tabelul 6.				FIȘA TEHNOLOGICĂ nr. 1								
Procedeul de sudare				Materiale de sudare			Metalul de bază			Tipul îmbinării		depun ere
MIG/MAG mecanizat				Sârm a	Marc a	LNM NiFe	Produs	Placă fontă	Forma rostului		-	
					Nor ma	EN 440-1994	Marca	Fontă cenușie 150	Poziția de sudare		orizon tal	
				Gaz de protec ție	Marc a	Argon	Norma	ISO R 185/61				
					Nor ma	SR EN 439-93						
Marca j depun ere	Grosi mea tablei [mm]	Dimensiuni le depunerii [mm]		Nr. trecer i	Debit de gaz, Q <sub>1</sub> [l/mi n]	Diametr u sârmă electrod , Ø [mm]	Curent de sudare , I <sub>s</sub> [A]	Viteza de avans, v <sub>as</sub> [m/mi n]	Tensiu nea arcului, U <sub>a</sub> [V]	Lungi mea liberă, L [mm]		
												b

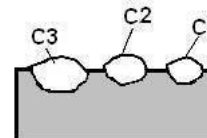
A1	40	5,2	4,4	0,7	1	15	1,2	72-74	2,1-2,2	23,9-24,8	16-17
A2	40	6,2	4,3	0,9	1	15	1,2	92-93	2,9-3,0	25,9-26,7	17-18
A3	40	8,5	4,2	1,3	1	15	1,2	125-129	3,7-3,8	29,5-29,9	19-20
<div>1. Natura curentului: CC<sup>+</sup>.</div> <div>2. Fiecare rând de sudură va fi curățat prin ciocănire și cu peria de sârmă.</div> <div>3. Rândurile de sudură se realizează după curățire prin polizare a MB.</div> <div>4. Temperatură de preîncălzire: 100 – 120<sup>0</sup>C.</div> <div>5. Fiecare depunere va fi detensionată după sudare prin ciocănire cu ciocanul de sudură timp de 5 minute.</div>											

Tabelul .7					FIȘA TEHNOLOGICĂ nr. 2							
Procedeul de sudare					Materiale de sudare			Metalul de bază			Tipul îmbinării	depun ere
MIG/MAG mecanizat					Sârm a	Marc a	LNM NiFe	Produs	Placă fontă	Forma rostului	-	
						Nor ma	EN 440-1994	Marca	Fontă cenușie 150	Poziția de sudare	orizon tal	
					Gaz de protec ție	Marc a	Corgon 18	Norma	ISO R 185/61			
						Nor ma	SR EN 439-93					
Marca j depun ere	Grosi mea tabelei [mm]	Dimensiuni le depunerii [mm]			Nr. trecer i	Debit de gaz, Q <sub>1</sub> [l/mi n]	Diametr u sârmă electrod , Ø [mm]	Curent de sudare , I <sub>s</sub> [A]	Viteza de avans, v <sub>as</sub> [m/mi n]	Tensiu nea arcului, U <sub>a</sub> [V]	Lungi mea liberă, L [mm]	
		b	h	p								
G1	40	8,1	1,6	2,3	1	12-13	1,2	80-82	2,1-2,2	26,1-26,5	16-17	
G2	40	11,3	1,3	2,3	1	12-13	1,2	99-100	2,8-3,0	27,1-27,2	17-18	
G3	40	11,3	1,4	2,6	1	12-13	1,2	128-132	4,0-4,1	29,1-29,3	19-20	
<div>1. Natura curentului: CC<sup>+</sup>.</div> <div>2. Fiecare rând de sudură va fi curățat prin ciocănire și cu peria de sârmă.</div> <div>3. Rândurile de sudură se realizează după curățire prin polizare a MB.</div> <div>4. Temperatură de preîncălzire: 100 – 120<sup>0</sup>C.</div> <div>5. Fiecare depunere va fi detensionată după sudare prin ciocănire cu ciocanul de sudură timp de 5 minute.</div>												

Tabelul.8.					FIȘA TEHNOLOGICĂ nr. 3				
Procedeul de sudare					Materiale de sudare			Metalul de bază	
								Tipul îmbinării	depunere



MIG/MAG mecanizat					Sârma	Marc a	LNM NiFe	Produs	Placă fontă		Forma rostului	-
						Nor ma	EN 440-1994	Marca	Fontă cenușie 150	Poziția de sudare	orizon tal	
					Gaz de protec ție	Marc a	CO <sub>2</sub>	Norma	ISO R 185/61			
						Nor ma	SR EN 439-93					
Marca j depu nere	Grosi mea tabelei [mm]	Dimensiuni le depunerii [mm]			Nr. trece ri	Debit de gaz, Q <sub>1</sub> [l/mi n]	Diametr u sârmă electrod , Ø [mm]	Curent de sudare , I <sub>s</sub> [A]	Viteza de avans, v <sub>as</sub> [m/mi n]	Tensi nea arcului, U <sub>a</sub> [V]	Lungi mea liberă, L [mm]	
		b	h	p								
C1	40	7,3	1,4	1,3	1	15	1,2	85-95	3,1-3,2	31,0- 32,3	16-17	
C2	40	8,3	2,2	1,7	1	15	1,2	103- 108	3,6-3,7	32,8- 33,0	17-18	
C3	40	8,5	1,8	1,9	1	15	1,2	112- 118	3,9-4,0	37,3- 40,9	19-20	
<div>1. Natura curentului: CC<sup>+</sup>.</div> <div>2. Fiecare rând de sudură va fi curățat prin ciocănire și cu peria de sârmă.</div> <div>3. Rândurile de sudură se realizează după curățire prin polizare a MB.</div> <div>4. Temperatură de preîncălzire: 100 – 120<sup>0</sup>C.</div> <div>5. Fiecare depunere va fi detensionată după sudare prin ciocănire cu ciocanul de sudură timp de 5 minute.</div>												



După sudare, probele cu depunerile prin sudură au fost lăsate să se răcească timp de 24 de ore; după acest interval de timp s-a efectuat o examinare vizuală și cu lichide penetrante a depunerilor .

În urma examinărilor au fost decelați pori izolați – indicații admise, care se încadrează conform SR EN 1289 în nivelul de acceptare 3 la depunerile G1, G2 și G3, în nivelul de acceptare 2 la depunerile C1 și C3 și nivelul de acceptare 1 la depunerile A1, A2, A3 și C2. La craterele de închidere a sudurilor C1, C2, C3 și G2 s-au constatat pori ca urmare a disfuncționalității în alimentarea cu gaz de protecție la finalizarea sudurilor.

De remarcat că, toate depunerile cu cuplul sârma - argon au asigurat un nivel de acceptare maxim - 1. Deasemenea, se remarcă prezența unor defecte de tipul golurilor în probele sudate în dioxid de carbon și Corgon 18, defecte în limite acceptabile.

În vederea analizei structurale metalografice au fost prelevate probe din toate cele nouă depuneri. La analiza microscopică s-au efectuat investigații structurale asupra zonei influențate termic. Rezultatele examinărilor conform SR EN 1321-2001 sunt prezentate în tabelul.9.

Tabelul 9. Aspectul microscopic al zonelor influențate termic

Varianta	Constituenți
A1	Perlită, ferită aciculară, bainită
A2	Perlită, ferită aciculară, bainită
A3	Perlită, ferită aciculară, eutectic ledeburitic
G1	Perlită, ferită aciculară, eutectic ledeburitic
G2	Perlită, ferită aciculară, eutectic ledeburitic
G3	Perlită, ferită aciculară, eutectic ledeburitic
C1	Perlită, ferită aciculară, bainită



7.	Scurtarea la refulare: - scurtarea totală $s_{ref.t.}$ - scurtarea sub curent $s_{ref.c.}$ - scurtarea fără curent $s_{ref.f.c.}$	$(mm)$	$s_{ref.t.} = (0,15 \dots 0,35)d$ (bare) $s_{ref.t.} = (0,8 \dots 1,5)s$ (platbenzi) $s_{ref.t.} = s_{ref.c.} + s_{ref.f.c.}$		
			$s_{ref.c.} = (0,3 \dots 0,35)s_{ref}$		
			$s_{ref.f.c.} = s_{ref.t.} - s_{ref.c.}$		
8.	Lungimea capătului liber $l$	$(mm)$	$l = (0,5 \dots 1,0)d$ sau : $l = 0,6 \sqrt{A}$		
Obs. Valorile parametrilor de sudare de calcul de mai sus sunt valabile pentru oțel					

## 7. 2. Calculul tehnologii de sudare electrica prin presiune în puncte

Se va stabili tehnologia de sudare prin presiune in puncte conform modelului prezentat in tabel pentru un material dat si o grosime data a tablelor

Nr. crt.	Parametrul tehnologic de calcul	Unitatea de măsură	Relații de calcul	Observații (Valori de calcul)	Exemplu de calcul	
1.	Metalul de bază	Definirea metalului de bază			Regim dur	Regim moale
	<b>OL 37.2</b>					
	<b>OLC 45</b>					
	<b>Tablă zincată</b>					
	<b>Oțel INOX A.</b>					
	<b>Aluminiu</b>					
	<b>Cupru</b>					
2.	Grosimea tablei(lor) : $S_1 + S_2$	(mm)				
3.	Stabilirea clasei de calitate (execuție)	Se face în funcție de: importanța construcției, mărimea și natura solicitărilor, condițiile de exploatare, condițiile de execuție și control - conform STAS 11244/				
4.	Alegerea tipului electrodului	Simbolizare : (cf. SR ISO 5182/1993)				
5.	Stabilirea diametrului la vârf al electrodului $d_e$	(mm)	$d_e = 2s + 4$ (1) $d_e = 2s + 3$ (2) $d_e = 2s + 3$ (3) $d_e = 2s + 2$ (4) $d_e = 5\sqrt{s}$ (5.1) $d_e = 2s + (2...4)$ (5.2) $A_e = \frac{\pi \cdot d_e^2}{4}$ (6)	Valabil pentru oțeluri cu $C = 0,22...0,25\%$ (Conform STAS 11244/79) <u>Clasa de execuție I :</u> Relația (1) – pentru $s = 0,5...3mm$ Relația (2) – pentru $s = 3,5...6mm$ <u>Clasa de execuție II, III :</u> Relația (3) – pentru $s = 0,5...3mm$ Relația (4) – pentru $s = 3,5...6mm$ Relații generale (5.1; 5.2)		
6.	Curentul de sudare $I_s$	(A)	$I_s = j \times A_e$ (7) $I_s = k \cdot A_p \cdot \frac{1}{\sqrt{t_s}}$ (8) $I_s = 6500 \times s$ (9) Obs.	(7) ; (8) ; $j$ – densitatea de curent ( $A/mm^2$ ) - <u>regim moale:</u> $j = (80... 160) A/mm^2$ - otel carbon - <u>regim dur:</u> $j = (200... 400) A/mm^2$ , - otel carbon $j = (1000... 1500) A/mm^2$ - pentru Al		

			$A_p \cong A_e$	Relația (9) $t_s$ – se introduce în perioade $k = 1250 \text{ A/mm}^2$ - oțel carbon $k = (800 \dots 1000) \text{ A/mm}^2$ - INOX 18/8 $k = (4000 \dots 4500) \text{ A/mm}^2$ - Al $k = (3000 \dots 4000) \text{ A/mm}^2$ - aliaje Al		
7.	Timpul de sudare (curent) $t_s$ ( $t_c$ )	(s); (p)	$t_s = (0,1 \dots 0,2) \text{ s}$ (10) $t_s = (0,8 \dots 1,0) \text{ s}$ (11) sau : $t_s = \left( \frac{k \cdot A_p}{I_s} \right)^2$ (12)	(10) Sudarea cu regim dur, R.D. (11) Sudarea cu regim moale, R.M. (12) Verificarea corelației $I_s - t_s$ (vezi relația (8))		
8.	Forța de apăsare (forjare) $F_j$	(daN)	$F = p \cdot A_e = p \cdot \frac{\pi \cdot d_e^2}{4}$ (13) $F = (50 \dots 250) \delta$ (14) $F_{R.D.} = (1,5 \dots 2,0) F_{R.M.}$ 15	$p = (7 \dots 12) \text{ daN/mm}^2$ – oțel carbon $p = (13 \dots 15) \text{ daN/mm}^2$ – oțel INOX 18/ 8 $p = (8 \dots 25) \text{ daN/mm}^2$ – Al + alj. $F_{R.D.}$ – forța de apăsare în regim dur $F_{R.M.}$ – forța de apăsare în regim moale (14) – Relație empirică		
9.	Diametrul punctului $d_p$ ( $d_n$ ) (minim)	(mm)	$d_p = 2s + 3$ (16) $d_p = 2s + 2$ (17) $d_p = (0,8 \dots 1,1) d_e$ (18) $d_{pmin} = 4\sqrt{s}$ (19) <b>Recomandare :</b> $d_p \leq d_e$ (20)	Relația (16) – Clasa de execuție I Relația (17) – Clasa de execuție II, III (Conform STAS 11244/79) Relația (20) – se impune pentru evitarea împrăscărilor de material prin stropi respectiv pentru obținerea unei amprente minime.		
10.	Înălțimea (gros.) punctului $h_p$ ( $h_n$ )	(mm)	55 ... 80% din grosimea totală a tablelor de sudat (valori minime pentru clasa I)			
11.	Adâncimea maximă a amprente $a$	(mm)	0,1 $s_{min}$ – clasa de calitate I 0,2 $s_{min}$ – clasa de calitate II, III.			

**Aprecierea calității punctului sudat:**  
Metode de control:

- Control vizual;
- Incercarea la forfecare, conform STAS 7932/
- Incercarea la îndoire, conform STAS 7932/
- Examinare macroscopică, conform STAS 10952/2-

*Clasa de calitate I:* nu se admit fisuri în nucleu și nu se admit expulzări de metal între suprafețele componentelor.

Se admite un por cu diametrul  $d_p = 0,5s_{\min} - 0,2 \text{ mm}$ , dar max. 2mm.

*Clasele de calitate II:* se admit fisuri în centrul nucleului, perpendiculare pe suprafața tablei cu lungimea de max.  $0,2d_n$  și pori a căror secțiune transversală totală nu depășește 4% din secțiunea sudurii.

*Clasa de calitate III:* se admit fisuri în centrul nucleului, perpendiculare pe suprafața tablei cu lungimea de max.  $0,3d_n$  și pori a căror secțiune transversală totală nu depășește 8% din secțiunea sudurii.

*Pentru toate clasele:* nu se admit puncte de sudură străpunse sau metal expulzat pe suprafața exterioară a tablei.

### 7. 3. Calculul tehnologierii de sudare electrica prin presiune în linie - SPL

Se va stabili tehnologia de sudare prin presiune în linie conform modelului prezentat mai jos pentru un material dat și o grosime dată a tablelor

*Elaborarea tehnologiei de sudare în linie SPL*

Date inițiale (de calcul) :

- metalul de bază : OL 37.2n ;
- grosimea tablei : 0,8 ; 1,0 ; 1,2 ; 1,5 ; 2,0 mm ;
- tipul sudurii : de etanșare.

#### Etape de calcul

1. *Pregătirea suprafeței tablelor.* Sudarea SPL se face numai pe tablă decapată (nu se sudează tablă neagră în linie datorită suprafeței oxidate a acesteia). Tabla trebuie să fie curată, fără oxizi, uleiuri, grăsimi, vopsele, etc. Se recomandă curățirea prin degresare a tablei.
2. *Alegerea materialului rolelor, conform SR ISO 5182/93*
  - CuCr1 – pentru sudarea oțelului nealiat cu conținut scăzut de C ;
  - Cu Cr Zr – pentru sudarea oțelului nealiat cu puțin carbon și a tablelor acoperite ;
  - Cu-ETP – pentru sudarea aluminiului
3. *Stabilirea formei rolelor și a dimensiunilor acestora, conform STAS 11253/85*
  - **rolă țesită bilateral (tablă de oțel carbon obișnuită - neacoperită)**
  - rolă bombată (tablă de oțel zincată, aluminiu)
  - rolă plată (tablă din oțel neacoperită la sudarea în linie prin strivire)
  - dimensiunile rolelor, conform STAS 11253/85 :
    - lățimea de contact a rolei  $b : b = 5\sqrt{s}$
    - lățimea totală a rolei :  $B \geq 2b$
    - diametrul rolei:  $D = 100; 112; 125; 140; 160; 180; 200; 224; 250; 280; 315. \text{ mm}$ , conf. SR EN 20693/95

4. Stabilirea lățimii cusăturii  $L_c : L_c = 2 \times S + 1 = \dots \text{ mm}$

**Verificarea condiției :  $L_c < L_r$**

5. Alegerea ciclogramei de sudare. Se propune *ciclul de sudare cu impulsuri de curent  $I_p$ ,  $F_{ap} = ct.$ ,  $v_s = ct.$ , figura 2a (motivație).*

6. Stabilirea parametrilor tehnologici de sudare :

6.1. Timpii de sudare:

6.1.1. timpul de impuls  $t_i : 1 ; 2 ; 3 ; 4$  perioade ;

6.1.2. timpul de pauză  $t_p : 1 ; 2 ; 3 ; 4$  perioade;

6.1.3. durata ciclului :  $t_c = t_i + t_p$  ;

6.1.4. frecvența impulsurilor de curent:  $f = 1/t_c$  (pentru calcul  $t_c$  se introduce în secunde).

**Obs. Se recomandă de regulă ca  $t_i \cong t_p$**

6.2. Viteza de sudare  $v_s$ :

$$v_s = \frac{5,1(s+1)}{t_c + t_p} \text{ (m/min)}$$

### 6.3. Curentul de sudare $I_s$ (A)

$$I_s = 7500\sqrt{s+1} + 1600 \cdot s \cdot \sqrt{s+1} \cdot v_s$$

### 7. Numărul de puncte/minut :

$$n_p = 3000/(t_i + t_p)$$

### 8. Pasul maxim pentru o sudură etanșă :

$$p = \frac{v_s(t_i + t_p)}{3} \text{ (mm)}$$

Obs.: în relațiile 6.2, 7 respectiv 8,  $t_i$ ;  $t_p$  se introduc în perioade;

### 9. Forța de apăsare $F_{ap}$ (daN)

$$F_{ap} = (1,1 \dots 1,3) F_{ap \text{ puncte}}$$

$$F_{ap \text{ puncte}} = p \times A_p = p \times \frac{\pi \cdot d_p^2}{4} ;$$

$$\text{unde: } d_{pmin} = 4\sqrt{s}, \text{ respectiv } p = 7 \dots 12 \text{ daN/mm}^2$$

## 8. TEHNOLOGII DE SUDARE PRIN TOPIRE

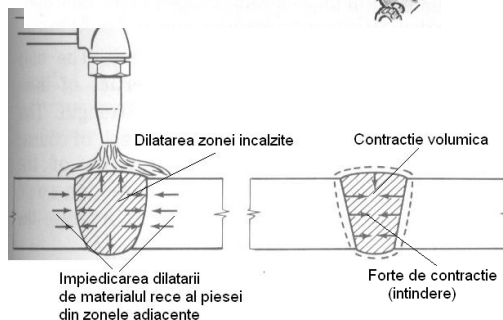
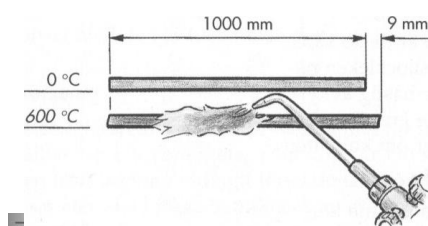
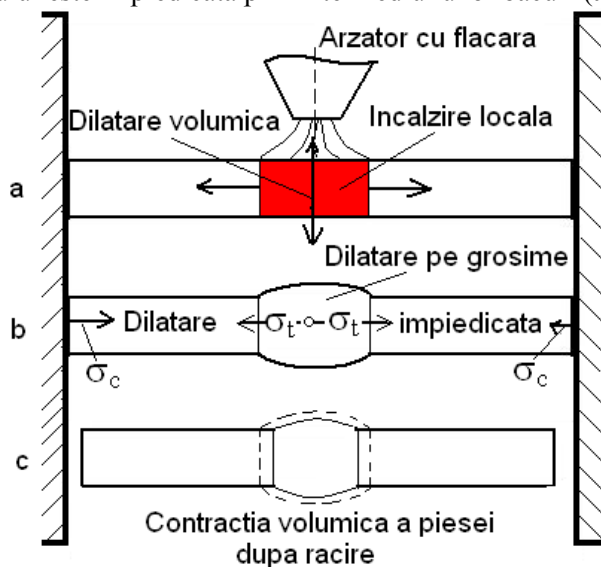
### 8.1. Înlăturarea deformațiilor la sudare

Deformațiile produse la sudare pot fi înlăturate prin două metode:

- îndreptarea mecanică prin ciocănire sau vâlțuire (trecerea componentelor printre cilindrii unui valț); este o metodă relativ simplă, dar are dezavantajul pericolului de fragilizare prin ecruisarea materialului, respectiv pericolul de fisurare;
- îndreptarea termică (îndreptarea locală cu flacără de gaze) este metoda cea mai uzitată pentru îndreptarea piselor deformate la sudare. Metoda este pe de o parte simplă, iar pe de altă parte metalul de bază este supus unui "tratament" mult mai blând decât în cazul îndreptării mecanice.



Principiul metodei constă în încălzirea locală limitată strict la o zonă în care dilatarea liberă a materialului este împiedicată prin intermediul unor bacuri (a).



Încălzirea produce în materialul care nu se poate dilata o solicitare de compresiune, (b), ceea ce determină apariția unei dilatări locale pe grosimea materialului în zona încălzită (bombarea materialului). Prin răcire are loc o contracție a materialului care aduce piesa la forma dorită sub acțiunea forțelor de contracție care apar în material, (c). În zonele încălzite se produce, datorită dilatației împiedicate în faza de încălzire, o scurtare a piesei.

În realitate la îndreptarea cu flacără împiedicarea dilatării locale a materialului în zona încălzită este produsă de materialul de bază rece din zonele învecinate, ceea ce conduce la apariția unor deformații locale nesemnificative ale materialului în această zonă. Forțele de compresiune care apar ulterior la răcire zonei încălzite local aduc piesa la forma dorită.

Etapele îndreptării cu flacără se desfășoară în următoarea succesiune:

1. identificarea zonelor care au suferit deformații respectiv a locului unde se impune aplicarea încălzirii locale, prin urmare stabilirea locului în care trebuie scurtată piesa prin contracția acesteia;
2. stabilirea cauzelor care au produs deformarea piesei, de obicei încălzirea neuniformă inerentă procesului de sudare;
3. analiza necesității de impunere a împiedicării dilatării piesei la încălzire prin mijloace exterioare precum fixarea în dispozitiv, cu șuruburi, cu cabluri, prin bridare, etc. De multe ori acest lucru se obține natural, fără o intervenție din exterior, din greutatea proprie a piesei, configurația piesei, rigidizarea proprie, etc.
4. încălzirea locală a materialului în domeniul deformării plastice, la temperaturi cuprinse între 550-700°C (în cazul oțelului), încălzire caracterizată printr-o culoare roșie închisă, de cireasă coaptă. Pentru obținerea unui efect maxim, încălzirea locală trebuie să fie cât mai concentrată și efectuată cât mai rapid pentru evitarea disipării căldurii din zona încălzită în material ceea ce conduce la scăderea eficienței procedurii sau la obținerea unor deformații nedorite ale piesei în ansamblul ei. Aceste deziderate se obțin prin folosirea pentru încălzirea materialului a flăcării oxiacetilenice care se caracterizează prin cea mai pernică și mai concentrată flacără oxigaz. În funcție de aplicația reală respectiv de tipul deformației și gradul de mărime a acesteia *încălzirea locală poate fi punctiformă (circulară), liniară (dreptunghiulară) sau triunghiulară (în formă de pană)*. De asemenea o importanță deosebită pentru eficiența metodei o are alegerea corectă a mărimii arzătorului flăcării oxiacetilenice. Această alegere se face în funcție de natura metalului de bază (conductibilitatea termică) și de grosimea acestuia. La piese din oțel nealiat sau slab aliat cu puțin carbon există următoarea recomandare: până la grosimi de material de 3 mm este adecvată folosirea arzătorului recomandat și pentru sudarea cu flacără a grosimii respective, iar la grosimi mai mari mărimea arzătorului corespunde celui destinat la sudarea grosimilor de material de 2,0-2,5 ori mai mari decât grosimea tablei care se îndreaptă (ex. pentru  $s=10\text{mm}$ , rezultă grosimea de calcul  $s_1 = (2-2,5) \times s = 20-25\text{mm}$ , ceea ce corespunde mărimii nr. 7 a arzătorului destinat sudării tablelor cu grosimea de 20-30mm; *identificarea mărimii arzătorului se face ușor prin numărul respectiv grosimea de material, pentru care este recomandat la sudare, poansonate pe arzător*).
5. contracția materialului în faza de răcire și aprecierea vizuală sau cu șabloane a gradului de îndreptare;
6. reluarea operațiilor dacă rezultatele obținute nu sunt cele scontate.

## 8.2. Sudarea la rece a fontelor

Comportarea la sudare

Sudarea fontelor este o problema dificila.

*Probleme care apar la sudare :*

- 1) Tendința de calire și de precipitare a fontelor albe la răcirea de la sudare ceea ce conduce la durificarea și fragilizarea puternică a structurii sudate și în final la pericolul fisurării acesteia. Acest lucru este favorizat și de plasticitatea aproape inexistentă a fontei. Precipitarea fontei albe este accentuată la sudare și de oxidarea puternică a Si din baia metalică care este elementul grafitizant cel mai important al C.
- 2) Plasticitatea foarte redusă a fontelor care determină o tendință crescută spre fisurare.
- 3) Intervalul de cristalizare mic al fontelor și absorbția unor cantități mari de gaze în stare topită conduce la favorizarea apariției porilor.
- 4) Fluiditatea foarte mare a fontelor în stare lichidă face dificilă sudarea lor în alte poziții, prin urmare fontele se sudează numai în poziție orizontală sau în jgheab.

*Metode de sudare a fontelor :*

În funcție de temperatura de sudare există două metode de sudare a fontelor:

- Sudarea la cald (cu preîncălzire) ;
- sudarea la rece (fără preîncălzire).

*Recomandări tehnologice la sudarea la rece:*



- materialul der adaos utilizateste pe baza de Ni sau Ni pur cu continut de Ni de cel putin 50% **la sudarea la rece**. Utilizarea acestor materiale ofera doua avantaje la sudare:

-Ni asigura plasticitate imbinarii sudate reducând pericolul fisurarii (tensiuni interne reduse)

-impiedica difuzia C din MB in cusatura, fenomen care are doua efecte negative si anume:

- saracirea MB in C si crearea premiselor de precipitare a cementitei in ZIT si fragilizarea acesteia cu pericolul fisurarii sub actiunea tensiunilor interne ;

- prin difuzia C in cusatura are loc pericolul precipitarii unor constitienti duri si fragili de tipul carburilor. Proprietatile Ni de blocare a difuziei C in cusatura se foloseste in practica la placarea suprafetei rostului inainte de sudare.

*Ex. de marci de electrozi pentru sudarea la rece a fontei : EF-NiS, EF NiFeB, EF NiCu (monel).*

-sudarea se face cu randuri subtiri si scurte 30-50 mm lungime ;

-depunerea randurilor se face alternativ in diferite zone ale rostului urmarind o incalzire cât mai redusa si uniforma a pieselor ;

-temperatura intre treceri 60-100C ;

-sudarea se face cu energie liniara redusa : de-cat mai mici, fara pendulare, Is redusi(mai mici ca la electrozii pt. OL la acelasi diametru) ;

-dupa fiecare depunere se recomanda ciocanirea cusaturii cu ciocan cu varf rotunjit; prin ciocanire are loc deformarea plastica locala care conduce la diminuarea tensiunilor interne prin relaxarea acestora ; deformatiile se produc usor deoarece materialul cusaturii are plasticitate foarte ridicata si în plus este cald.

Observatie : tensiunile interne introduse de materialul pe baza de Ni sunt mari datorita diferentei dintre coeficientii de dilatare liniara a MA fata de MB.

-se va suda dinspre zonele cu rigiditate mare spre zonele cu rigiditate mica asigurand mobilitatea;

-dupa fiecare trecere cusatura se va curati si se va verifica vizual. Daca sunt fisuri e obligatoriu indepartarea lor prin polizare.

Ex. de recondiționare a unei fisuri :

1. evidențierea extinderii fisurii prin control vizuala, cu lupa, cu lichide penetrante ;

2. limitarea vârfulilor fisurii prin găurire pentru a împiedica propagarea acesteia în timpul prelucrării sau sudării,  $d_{gaură} = 3-5 \text{ mm}$  ;

3. escavarea fisurii prin polizare, aschiere, dăltuire (nu prin crăițuire arc-aer) ;

4. sudarea propriu-zisă cu respectarea recomandărilor tehnologice de mai sus ;

5. umplerea găurilor de capăt ;

6. controlul final, vizual sau cu lichide penetrante.

### **8.3. Sudarea aluminiului si aliajelor sale**

Proprietatile mult diferite ale aluminiului fata de ale otelului face ca sudarea aluminiului sa fie mult mai diferita decat sudarea otelurilor. Daca se cunosc problemele care apar la sudarea aluminiului atunci aceasta se face relativ usor.

Probleme care apar la sudarea aluminiului

#### 1. Aviditatea mare fata de oxigen.

Datorita acestei aviditati pe suprafata aluminiului se formeaza natural o pelicula de  $\text{Al}_2\text{O}_3$  care este benefica din punct de vedere al proprietatilor asigurand rezistenta la oxidare a aluminiului si aliajelor sale pentru ca  $\text{Al}_2\text{O}_3$  este compact si aderent si are o structura amorfa. Sudarea impune sa se faca in conditii de protectie deosebita la patrunderea gazelor în arcul electric respectiv pelicula de  $\text{Al}_2\text{O}_3$  sa se indeparteze de pe suprafata componentelor inainte de sudare.

#### 2. Conductibilitatea termica ridicata

Conductibilitatea termica ridicata determina disiparea rapida a caldurii arcului electric de la locul sudarii in componente facand dificila topirea materialului de baza.

Compensarea pierderilor de caldura prin conductie termica se face prin surse de putere mare (plasma, fascicol de electroni, respectiv prin preincalzirea componentelor inainte de sudare la temperaturi cuprinse între 100 – 200 °C in functie de procedeul de sudare si de grosimea componentelor sudate.

#### 3. Coeficientul de dilatare mare

Coeficientul de dilatare mare al aluminiului conduce la inducerea unor tensiuni in timpul sudarii sau imediat dupa sudare, de aceea se impune evitarea sudarii in dispozitive si rigidizarea componentelor la sudare trebuind sa se asigure o mobilitate mare. Acest pericol este cu atat mai mare in cazul sudarii fara material de adaus cand are loc in axa imbinarii sudare pe toata lungimea cusaturii.

#### 4. Capacitate mare de dizolvare in stare topita a gazelor si in special a $\text{H}_2$

La solidificare solubilitatea H tinde la 0 ( $0.05 \text{ cm}^3 / 100 \text{ gr}$  material depus fata de otel care poate dizolva  $8 \text{ cm}^3 / 100 \text{ gr}$  material dizolvat. Acest lucru duce la formarea porilor, pericol accentuat si de viteza de solidificare mare a baii. Practic in cazul sudarii aluminiului prin topire este imposibila obtinerea unei cusaturi sudate fara pori. Calitatea respectiv volumul acestora se limiteaza in functie de cerintele clasei de calitate.

5. *Aliajele aluminiului deformate plastic la rece sau aliajele calibile isi pierd efectul de ecrisare in imbinarea sudata si in ZIT ca urmare a caldurii introduse la sudare, ceea ce determina reducerea caracteristicilor mecanice ale imbinarii fata de cele ale materialului de baza. Rezistenta imbinarii sudate poate ajunge chiar pana la 50 % din rezistenta materialului de baza, aspect de care trebuie tinut cont la proiectarea imbinarilor sudate. Cresterea caracteristicilor sudate se poate face prin ciocanire cu un ciocan cu varf rotunjit la aliajele deformabile, respectiv la aplicarea tratamentului post sudare la aliajele calibile. Prin ciocanire se poate ajunge la 0.8 – 0.9 % din rezistenta materialului de baza. Prin urmare tehnologul sudor trebuie sa stie intodeauna tipul aliajului pe care-l sudeaza, calibil sau necalibil in functie de tehnologia de sudare.*

6. *Aliajele de Al + Mn + Si + Cu care prezinta eutectici au o mare susceptibilitate la cald. Pentru reducerea acestei tendinte este necesar alegerea corecta a materialului de adaus, astfel incat intervalul de solidificare al metalului depus sa fie sub  $50^\circ\text{C}$*

#### Recomandari tehnologice

Sudarea aluminiului se face prin procedeele de sudare WIG, MIG, fascicul de electroni si din ce in ce mai rar SE. Procedul MIG in curent pulsant si WIG in CA asigura cea mai buna calitate a imbinarii sudate in conditii de costuri scazute.

#### Sudarea WIG

Protectia arcului se face in general cu argon 100 % cu puritate foarte mare (mai mare decat 99.9 %), tipurile A si B din STAS pentru evitarea oxidarii baii metalice si a electrodului de W supraancalzit. La sudare pot fi folosite si amestecuri de gaze Ar + He.

Prin introducerea in argon a unei cantitati mici de  $\text{O}_2$  sub 0.03% se realizeaza imbunatatirea arcului electric de pe insulele mici de  $\text{Al}_2\text{O}_3$  formate pe suprafata baii metalice.

Daca de foloseste Ar + He are loc cresterea puterii arcului electric datorita cresterii  $U_a$  care are un grad de ionizare mare ( $\text{He} = 24.5 \text{ V}$  fata de  $\text{Ar} = 15.7 \text{ V}$ ) Aceasta duce la cresterii productivitatii prin cresterea patrunderii si a vitezei de sudare. Se reduc defectele prin lipsa porilor ca urmare a cresterii temperaturii baii si a intervalului de solidificare astfel rezultand o imbinare mai sigura dar mai scumpa datorita costului ridicat al He. Procentul de He se limiteaza la 70% deoarece He fiind mai usor decat aerul are tendinta de a se ridica creand probleme cu asigurarea protectiei baii.

Deasemenea la utilizarea amestecului de Ar + He apar dificultati de amorsare datorita gradului de ionizare mai mare al He.

Instalatiile mai noi de WIG permit amorsarea cu Ar dupa care trece automat in Ar + He.

Este posibila si utilizarea de He pur pentru suduri mecanizate a aluminiului prin pozitionarea capului de sudare la o distanta de 0.5 mm fata de componente putandu-se suda si in CC<sup>-</sup>. Debitul gazului este mai mare ca la otel cu 5 – 15 l / min la Ar respectiv mai mare la amestecuri.